

الباب الثاني عشر

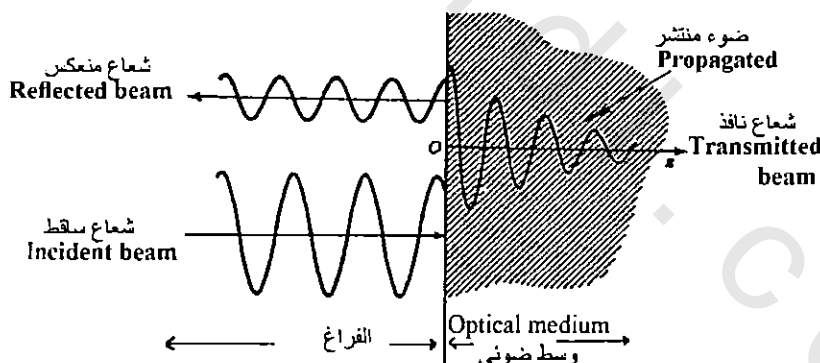
الخصائص الضوئية للجوامد

Optical properties of solids

الظواهر والمعاملات الضوئية

Optical phenomena and coefficients

يصاحب سقوط الضوء على الوسط الضوئي عدد من الظواهر الضوئية تشمل الانعكاس (Reflection)، الانكسار (Refraction)، الامتصاص (Absorption)، النفاذية (Transmission). شكل (12-1) يعطى تصوراً لهذه الظواهر، حيث عند سقوط الضوء على الوسط ينعكس جزء من سطحه الأمامي ويغتغل الجزء الباقي وينتشر خلال الجسم متعاملاً مع مكوناته، فإذا وصل إلى سطحه الخلفي ينعكس أو ينفذ جزئياً أو كلياً، الأمر الذي يعتمد على طبيعة المادة وخصائصها الضوئية.



شكل (1-12): الظواهر الضوئية المصاحبة لسقوط الضوء على الوسط.

وتقاس هذه الظواهر بواسطة بعض البارامترات (المعاملات) التي تحدد الخصائص الضوئية للوسط، فمثلاً:

يتصف الانعكاس بمعامل يسمى معامل الانعكاس (Reflection Coefficient)

أو الانعكاسية (Reflectivity) ويرمز لها عادة بالرمز R . ويعرف معامل الانعكاس بأنه النسبة بين الطاقة الضوئية المنعكسة إلى الطاقة الساقطة.

وتتصف النفاذية (Transmission Coefficient) بمعامل النفاذية (Transmission) أو الإنفاذية (Transmissivity) ويرمز لها بالرمز T . وتعرف بأنها النسبة بين الطاقة الضوئية النافذة إلى الطاقة الضوئية الساقطة. فإذا لم يوجد امتصاص، فإنه طبقاً لبدأ حفظ الطاقة يكون مجموع المعاملين $R & T$ مساوياً الوحدة.

$$\text{i.e. } R + T = 1 \quad (12-1)$$

أما التغلغل (Propagation) للشعاع الضوئي في الوسط الشفاف أو المنفذ (Transparent) فإنه يتصرف بمعامل الانكسار (Refractive index)، حيث يُعرف بأنه النسبة بين سرعة الضوء في الفراغ إلى سرعته في الوسط.

$$\text{i.e. } n = \frac{c}{v} \quad (12-2)$$

وتعتمد قيمة n على تردد الشعاع الضوئي، ويُعرف هذا التأثير بالتشتت (Dispersion).

وامتصاص الضوء (optical absorption) يتصرف بما يُسمى معامل الامتصاص (absorption Coefficient) ويرمز له بالرمز (α)، ويُعرف بأنه جزء الطاقة الضوئية المتصص في وحدة الأطوال من الوسط، فإذا تغلغل الشعاع الضوئي في اتجاه محور z ، وكانت شدة الضوء (Light Intensity) – وهي القدرة الضوئية لوحدة المساحات – عند البعد z من السطح هي $I(z)$ ، فإن النقص الحادث في الشدة الضوئية نتيجة اختراق الضوء شريحة سماكة dz يعطى من العلاقة الآتية:

$$dI = -\alpha dz \cdot I(z) \quad (12-3)$$

وبإجراء التكامل كالتالي:

$$\int_{I_0}^I \frac{dI}{I} = -\alpha \int_0^z dz$$

أى أن:

$$I(z) = I_0 e^{-\alpha z} \quad (12-4)$$

حيث I_0 – شدة الضوء عندما $z = 0$ ، وتعرف العلاقة (12-4) بقانون بيير Law. ويعتمد معامل الامتصاص (α) بشدة على تردد الضوء، وبذلك تتغير امتصاصية المواد للألوان بسبب تغير تردداتها. وكما سيأتي، فإن الامتصاصية والانكسار يمكن ربطهما بكمية واحدة تسمى معامل الانكسار المركب (Complex refractive index)،

وبمعرفة هذه الكمية يمكننا حساب المعامل R ومن ثم يمكن إيجاد معامل النقادية T للوسط ذي السمك ℓ بالعلاقة التالية :

$$T = (1-R_1)e^{-\alpha\ell} (1-R_2) \quad (12-5)$$

حيث R_1, R_2 هما معاملا الانعكاس عند سطحى المادة الأمامى والخلفى على الترتيب. وإذا كان السطحان لهما نفس الانعكاسية R ، فإن العلاقة (12-5) تصبح بالصورة التالية :

$$T = (1-R_1)^2 e^{-\alpha\ell} \quad (12-6)$$

كذلك، يمكن وصف الامتصاص لوسيط بدلالة الكثافة الضوئية (O.D) Optical density والتي تسمى أحياناً بالامتصاصية Absorbance كالتالي :

$$O.D = -\log_{10} \frac{I(\ell)}{I_0} \quad . \quad (12-7)$$

وباستخدام العلاقة (4-12) فإنه يمكن ربط الكثافة الضوئية بمعامل الامتصاص مباشرة من خلال العلاقة الآتية :

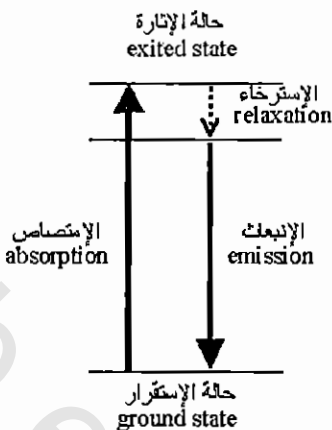
$$O.D = \frac{\alpha\ell}{\log_e 10} = 0.434 \alpha \ell \quad (12-8)$$

ويفضل في الدراسات البحثية عادة استخدام a بدلاً من O.D لعدم اعتمادها على طول العينة.

وتعامل الضوء مع المادة يمكن أن يكون مصحوباً بظواهر هامة أخرى مثل ظاهرتي الإشعاع والتبعثر:

ظاهرة الإشعاع Luminscence

العالم ستوكس هو أول من قام بدراسة هذه الظاهرة في القرن التاسع عشر قبل ظهور النظرية الكمية. شكل (12-2) يبين أبسط تتابع لأحداث هذه الظاهرة، حيث تتفز الذرة إلى حالة الإثارة بسبب امتصاصها لفوتون، بعد ذلك يحدث لها عملية استرخاء في حالة بينية، وفي النهاية تعود إلى حالة استقرارها الأصلية (ground state) بعد إشعاعها لفوتون بطاقة أقل (أى بتردد أقل). هذا النقص في التردد يعرف بإزاحة ستوكس (Stokes shift).



شكل (2-12): ظاهرة الإشعاع Luminescence

ظاهرة التبعثر Scattering phenomenon

وهي الظاهرة التي يغير فيها الضوء اتجاهه، ويحتمل أن يغير ترددده أيضاً بعد التفاعل مع المادة، ورغم أن العدد الكلي للفوتونات لا يتغير، إلا أن العدد المرتد للأمام يقل بسبب تبعثر الفوتونات المرتدة في اتجاهات مختلفة، ويكون التبعثر مرتنا إذا لم يتغير تردد الفوتونات المبعثرة بعد عملية التفاعل عنه قبلها، ويكون غير مرن إذا تغير التردد بالزيادة (تؤخذ الزيادة في طاقة الفوتون من المادة) أو بالنقصان (تمتص طاقة الفوتون في المادة). وتحدث هذه الظاهرة بسبب تغير معامل الانكسار في مدى طول أفق من الطول الموجي للضوء الساقط نتيجة لوجود شوائب أو عيوب بلورية أو حتى نتيجة لعدم التجانس في تركيب المادة، ويصاحب هذه الظاهرة اضمحلال في شدة الموجة الضوئية بشكل يشبه ما يحدث في حالة الامتصاص، حيث تعطى شدة الضوء بدالة أسيّة كالتالي:

$$I(z) = I_0 e^{-(N\sigma_s)z} \quad (12-9)$$

حيث N هي عدد مراكز التبعثر scattering centers في وحدة الحجم، σ_s مساحة مقطع التبعثر scattering cross-section. والعلقة (9-12) تطابق حالة الامتصاص المعطاة بالعلقة (4-12) إذا كانت $\alpha = N\sigma_s$

إذا كان حجم مركز التبعثر أصغر كثيراً من الطول الموجي للضوء، حيث يكون التبعثر سائداً بواسطة عدم تجانس التركيب inhomogeneity، فإن هذا التبعثر يعرف بتبعثر رايلي Rayleigh scattering ويكون له:

$$\sigma_s(\lambda) \propto \frac{1}{\lambda^4} \quad (12-10)$$

معامل الانكسار المركب والخصائص الضوئية

Refractive index and optical properties

ذكرنا من قبل أنه بواسطة كمية واحدة تسمى معامل الانكسار المركب يمكن وصف الانكسار والامتصاص للوسط كالتالي :

$$\bar{n} = n + iK = \quad (12-11)$$

الجزء الحقيقي n هو معامل الانكسار العادي المعروف بالعلاقة (12-2)، أما الجزء التخيلي K يسمى معامل الانقراض extinction coefficient ويرتبط مباشرة بمعامل امتصاص الوسط α .

العلاقة بين معامل الامتصاص والانقراض للوسط

يمكن إيجاد العلاقة بين α ، K إذا أخذنا في الاعتبار تغلغل الموجات الكهرومغناطيسية المستوية خلال الوسط ذي معامل الانكسار المركب. فإذا انتشرت الموجة في اتجاه محور z فإن المجال الكهربى كدالة في المكان والزمان يمكن كتابته بالصورة التالية :

$$E(z, t) = \epsilon_0 e^{i(Kz - \omega t)} \quad (12-12)$$

حيث k هو المتجه الوجى للضوء، التردد الزاوي، سعة الموجة عند $z=0$ ، فإذا كان الوسط عديم الامتصاص non-absorbing ، فإن تقليل العامل n مقارنة بالفراغ، وذلك فإن :

$$k = \frac{2\pi}{(\lambda/n)} = \frac{n\omega}{c} \quad (12-13)$$

وبتعويض هذه العلاقة على الوسط المعتن للضوء absorbing medium نحصل على :

$$k = \bar{n} \frac{\omega}{c} = (n + iK) \frac{\omega}{c} \quad (12-14)$$

وبالتعويض من (14-12) في (12-12) نجد أن :

$$\begin{aligned} E(z, t) &= \epsilon_0 e^{i[(n+iK)\frac{\omega}{c}z - \omega t]} \\ &= \epsilon_0 e^{-\left(\frac{K\omega}{c}\right)z} e^{i[\frac{\omega n}{c}z - \omega t]} \\ &= \epsilon_0 e^{-\left(\frac{K\omega}{c}\right)z} e^{i(kz - \omega t)} \end{aligned} \quad (12-15)$$

تبين هذه العلاقة أن وجود قيمة لمعامل الانقراض K لا تساوى الصفر يؤدي إلى اضمحلال في الموجة بدالة أسيّة، وفي نفس الوقت يظل الجزء الحقيقي (n) في معامل

الانكسار محدداً للسرعة الطورية للموجة. وحيث أن شدة الموجة الضوئية تتناسب مع مربع السعة للمجال الكهربائي، فإنه يمكن من المعادلة (12-15) استنتاج أن شدة الموجة الضوئية تقل أسيّا في الوسط بمعامل إضمحلال يساوي $\frac{2K\omega}{c}$ ، بمقارنة ذلك بقانون بيير المعطى بالعلاقة (4-12) نجد أن:

$$\alpha = \frac{2K\omega}{c} = \frac{4\pi K}{\lambda} \quad (12-16)$$

حيث λ الطول الموجي للضوء في الفراغ. وهكذا، فإن العلاقة (12-16) تبين أن معامل الامتصاص α يتتناسب طردياً مع معامل الانقراض K .

العلاقة بين معامل الانكسار وثابت العزل للوسط

يمكن أيضاً ربط معامل الانكسار مع ثابت العزل النسبي للوسط من خلال العلاقة المشتقة من معادلات ماكسويل الآتية:

$$n^2 = \epsilon_r \quad (12-17)$$

إذا كان معامل الانكسار يأخذ الصورة المركبة المعطاة بالعلاقة (12-11)، فإن ثابت العزل لا بد أن يأخذ الصورة المركبة أيضاً، كالتالي:

$$\bar{\epsilon}_r = \epsilon_1 + i\epsilon_2 \quad (12-18)$$

$$\therefore \bar{n}^2 = \bar{\epsilon}_r \quad (12-19)$$

$$\therefore (n+iK)^2 = \epsilon_1 + i\epsilon_2$$

$$(n^2 - K^2) + i(2nK) = \epsilon_1 + i\epsilon_2$$

وبالتالي فإن:

$$\epsilon_1 = n^2 - K^2 \quad (12-20)$$

$$\& \quad \epsilon_2 = 2nK \quad (12-21)$$

أي أن القيم الحقيقية والتخيلية لمعامل الانكسار وثابت العزل ترتبط معاً بالعلاقات المباشرة (12-20)، (12-21) على الترتيب، حيث يمكن إثبات أن:

$$n = \frac{1}{\sqrt{2}} \left[\epsilon_1 + (\epsilon_1^2 + \epsilon_2^2)^{\frac{1}{2}} \right]^{\frac{1}{2}} \quad (12-22)$$

$$\& \quad K = \frac{1}{\sqrt{2}} \left[-\epsilon_1 + (\epsilon_1^2 + \epsilon_2^2)^{\frac{1}{2}} \right]^{\frac{1}{2}} \quad (12-23)$$

ما سبق يتضح أن المتغيرين n ، K ليسا مستقلين، فإذا علمنا ϵ_2 ، ϵ_1 يمكن إيجاد

K ، n والعكس بالعكس. ولو كان الوسط ضعيف الامتصاص للضوء، حيث يفترض أن قيمة K صغيرة جداً، فإنه يمكن استخدام العلاقات البسيطتين الآتتين:

$$n^2 = \epsilon_1 \quad (12-24)$$

$$K = \frac{\epsilon_2}{2n} \quad (12-25)$$

وتبيّن هاتان العلاقاتان أن معامل الانكسار يحدّد أساساً بواسطة الجزء الحقيقى لثابت العزل، بينما يتحدّد الامتصاص بواسطة الجزء التخيلى. هذا التعميم لا يكون صحيحاً بالطبع عندما يمتلك الوسط قيمة عالية لمعامل الامتصاص.

العلاقة بين الانعكاسية ومعامل الانكسار والانقراض

كذلك، فإنه يمكن بيان أن الانعكاسية تعتمد على كل من K ، n ، لذلك دعونا نفترض أن شعاعاً ضوئياً مستقطباً في اتجاه x وينتشر في اتجاه z في وسط ذي معامل انكسار \bar{n} . ومن الشروط الحدية عند الحد الفاصل بين الوسطين العازلين تكون كميات المركبات الماسية tangential components للمجالين الكهربائي والمغناطيسي محفوظة، لذا فإنه باستخدام شكل (3-12) يكون:

$$\epsilon_x^i + \epsilon_x^r = \epsilon_x^t \quad (12-26)$$

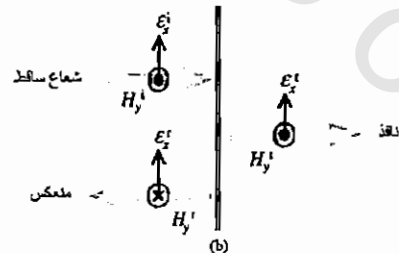
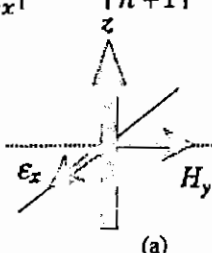
$$H_y^i - H_y^r = H_y^t \quad (12-27)$$

وطبقاً لمعادلات ماكسويل فإن E_y ، H_y ترتبطان بالعلاقة $\bar{n} = \frac{H_y}{E_x}$ ، وعليه، يمكن إعادة كتابة العلاقة (12-27) بالصورة التالية:

$$\epsilon_x^i - \epsilon_x^r = \bar{n} \epsilon_x^t \quad (12-28)$$

حيث افترضنا أن الموجة ساقطة من الهواء ($1 = \bar{n}$). بحل المعادلتين (12-26) و (12-28) معاً نحصل على العلاقة الآتية:

$$\left| \frac{\epsilon_x^r}{\epsilon_x^i} \right| = \left| \frac{\bar{n} - 1}{\bar{n} + 1} \right| \quad (12-29)$$



شكل (3-3): الشروط الحدية بين الوسطين العازلين. شعاع مستقطب في اتجاه z وينتشر في اتجاه x ، المركبات الماسية للمجالين الكهربائي والمغناطيسي

وتعطى الانعكاسية \mathcal{R} بخارج قسمة مربع قيمة الإشعاع المنعكس على مربع قيمة الإشعاع الساقط، أي أن:

$$\mathcal{R} = \left| \frac{\epsilon_x^r}{\epsilon_x^i} \right|^2 = \left| \frac{\bar{n}-1}{\bar{n}+1} \right|^2 = \frac{(n-1)^2 + \square^2}{(n+1)^2 + \square^2} \quad (12-30)$$

وهي تعطى قيمة الانعكاسية بين الوسط والهواء في حالة سقوط الإشعاع عموديا (normal incidence) على السطح الفاصل.

الخواص الضوئية لبعض المواد

سنحاول هنا إلقاء الضوء على الخصائص الضوئية لبعض المواد مثل بلورات أشباه الموصلات والغازات، الزجاجيات والمعادن.

الخصائص الضوئية لأشباه الموصلات والغازات البليورية

طيف النفاذية الضوئية للبلورات الياقوت Crystalline sapphire Al_2O_3 في مدى يتراوح من منطقة الأشعة تحت الحمراء حتى المنطقة فوق البنفسجية (UV) والذي يعبر عن الشكل العام لكل المواد العازلة مبين في شكل (12-4.a)، حيث يمكن أن نلخص الخصائص الأساسية فيما يلى:

- يمتلك الياقوت Al_2O_3 نفاذية عالية في المدى $0.2 - 6 \mu\text{m}$ الذي يشمل كل المدى الرئيسي، ولذلك يبدو شفافاً بدون لون للعين المجردة. معامل الامتصاص له في هذا المدى صغير جداً، وبالتالي يكون معامل الانكسار ناتجاً من المركبة الحقيقية ($n = n$)، ويكون تقريباً ثابت القيمة ويساوي حوالى 1.77.
- يمكن تعين معامل النفاذية في هذا المدى للنفاذية العالية للإيقوت بدالة الانعكاسية \mathcal{R} من العلاقة (12-6) حيث:

$$T = (1-\mathcal{R})^2 e^{-\alpha l} = (1-\mathcal{R})^2 = 0.85$$

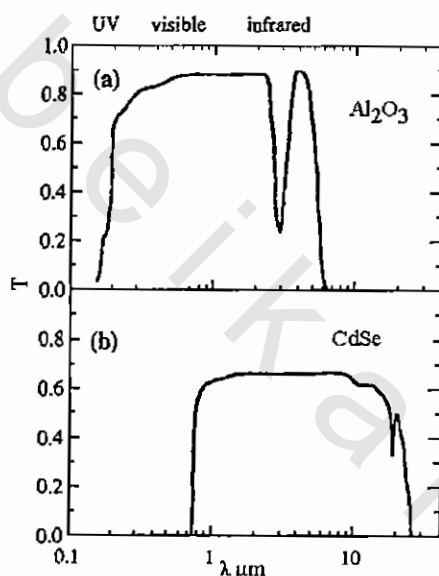
وتحسبت $\mathcal{R} = 0.077$ من العلاقة (12-30).

- الانخفاض الحادث في المنطقة تحت الحمراء عند $\lambda = 3\mu\text{m}$ وكذلك الهبوط الحاد للنفاذية لقيم $\lambda > 6\mu\text{m}$ يرجع إلى الامتصاص الاهتزازي (vibrational absorption) بسبب اهتزازات الشبكية ويسمى عادة بالامتصاص الفوноني (phonon absorption) أو بامتصاص الشبكية (Lattice absorption).

- أما الانخفاض الحاد في المنطقة UV عندما $\lambda < 0.2\mu\text{m}$ فإنه يعود إلى الامتصاص بواسطة إلكترونات التكافؤ ويعرف بحافة الامتصاص الأساسية (Fundamental absorption).

(absorption edge). وبواسطة قيمة الطول الموجي المقابلة لهذا الانخفاض يمكن تحديد اتساع المنطقة المحرمة للمواد العازلة.

وعموماً، فإن العازلات تكون عديمة اللون وشفافة (منفذة) للضوء. فإذا ظهرت المادة العازلة بلون معين، فهذا يرجع غالباً إلى وجود شوائب. كما تتميز العازلات بامتصاصية عالية في منطقتى الأشعة فوق البنفسجية وتحت الحمراء. لذلك تستخدم هذه المواد في صناعة النوافذ والعدسات.



شكل (12-4): طيف التفافية الضوئية لبلازورة Al_2O_3 العازلة (a) وشب الموصى (b).

جدول (12-1) يعطي معامل الانكسار لبعض البلازورات العازلة الشائعة والمدى الذي تكون فيه هذه البلازورات شفافة (Transparent).

جدول (12-1): معامل الانكسار ومدى الشفافية الضوئية لبعض البلازورات العازلة

البلازورة	مدى التفافية (μm)	n	البلازورة	مدى التفافية (μm)	n
Diamond	80 - 0.25	2.42	NaCl	20 - 0.21	1.55
KBr	30 - 0.3	1.56	NaF	15 - 0.19	1.32
KC	25 - 0.21	1.49	SiO_2	3 - 0.2	1.54
KI	0.3- 40	1.67	TiO_2	5 - 0.45	2.62

هـ- الخواص الضوئية لأشباه الموصلات شبيهة بمشتقاتها للمواد العازلة، عدا أن الانتقالات الإلكترونية والاهتزازية تحدث عند أطوال موجية أكثر طولاً. وكما يتضح من شكل (4-12.b) أن شبه الموصل CdSe يعتبر منفذًا للضوء للأطوال الموجية الأكبر من 700 nm ، أي خارج المنطقة المرئية ولذلك يبدو معتماً للعين المجردة.

جدول (2-12) يعطى مدى النفاذية ومعامل الانكسار n والطول الموجي λ المحدد لاتساع الفجوة الطاقية (المنطقة المحرومة) لعدد من أشباه الموصلات. وكما هو مبين، فإن الحد الأدنى لدى النفاذية ينطبق تقريباً مع الطول الموجي λ ، الذي يقابل أقل طاقة يحدث عنها انتقال

جدول (2-12) : بعض الخصائص الضوئية لعدد من أشباه الموصلات

البلورة	مدى النفاذية (μm)	(μm)	n
Ge	23 - 1.8	1.8	4.00
Si	15 - 1.2	1.1	3.42
GaAs	20 - 1.0	0.87	3.16
CdTe	14 - 0.9	0.83	2.67
CdSe	24 - 0.75	0.71	2.50
ZnSe	20 - 0.45	0.44	2.41
ZnS	14 - 0.4	0.33	2.20

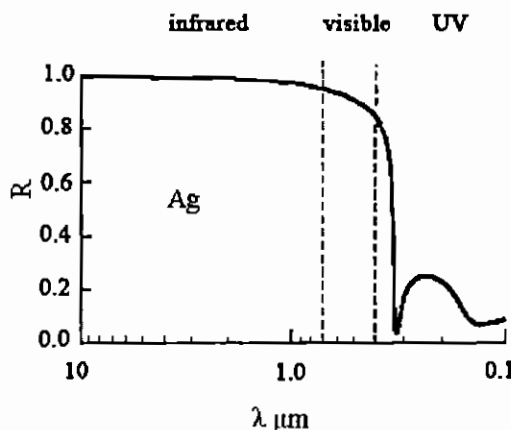
الكترونى بين منطقى التكافؤ والتوصيل. كما نلاحظ أيضًا أن معامل الانكسار يزداد بزيادة λ . ويتحدد الحد الأقصى لدى النفاذية بواسطة الامتصاص الفونونى (امتصاص الشبكية) وكذلك امتصاص حوامل الشحنة الحرة (free carrier absorption) والتى توجد فى أشباه الموصلات نتيجة الإثارة الحرارية أو بسبب الشوائب حيث تسبب امتصاصاً للأشعة تحت الحمراء.

الخصائص الضوئية للمواد الزجاجية glasses

تعتبر الزجاجيات مواد ضوئية هامة لتنوع استخداماتها التكنولوجية، فهي تستخدم في المنشور الزجاجي، العدسات، الأجهزة الضوئية، النوافذ glassware، كما أصبحت مؤخراً أساسية في تكنولوجيا الألياف الصناعية Optical Fiber glasses. وهذه المواد تصنع بحيث تكون شفافة (منفذة) للضوء المرئي، ولأنها مواد غير بلورية فهي لا تسبب اختلافاً في الخواص الضوئية مع تغيير اتجاه سقوط الضوء Optical anisotropy. وتُصنع معظم أنواع الزجاجيات من الرمل (السيليكا SiO_2) مع بعض المواد الكيمائية. وتعتبر السيлиكا مادة عازلة، وبالتالي تتميز بكل الخصائص الضوئية للمادة العازلة، فهي شفافة للضوء المرئي، وتبدى امتصاصية في المنطقة UV بسبب الانتقال الإلكتروني لجزيئات SiO_2 وفي المنطقة IR بسبب اهتزازات الشبكة. يتراوح مدى النفاذية من $\sim 200\text{ nm}$ في المنطقة UV حتى 2000 nm في المنطقة IR. ويمكن تصنيع زجاجيات ملونة أو زجاجيات ذات خصائص ضوئية معينة بالإضافة مواد شبة موصلة أو مواد كيماوية أخرى أثناء التحضير حسبما تتطلب الحاجة.

الخصائص الضوئية للمعادن

تتميز المعادن بالانعكاسية العالية جداً للضوء بسبب تفاعل الضوء الساقط مع الإلكترونات الحرجة في المعادن. شكل (5-12) يبين أن انعكاسية الفضة قريبة من 100% في منطقة الأشعة تحت الحمراء وتظل فوق 80% على كل المدى المرئي، وتهبط قيمتها بحدة في منطقة الأشعة فوق البنفسجية. وهذا التصرف هو تصرف عام لكل المعادن.



شكل (5-12): طيف الانعكاسية الضوئية لمعدن الفضة

الانعكاس الكبير الذى نلاحظه لكل قيمة التردد الأقل من تردد الانقطاع (Cut-off frequency) أو تردد البلازما (plasma frequency) وهو التردد الواقع في المنطقة UV، يؤكد أن المعدن يعكس كل الأشعة تحت الحمراء، وينفذ الأشعة فوق البنفسجية، ويسمى هذا التأثير «نفاذية الأشعة فوق البنفسجية للمعادن» Metal UV transmission.

انتشار الضوء في الوسط الضوئي

light Propagation in a dense medium

خلال هذه المعالجة لانتشار الضوء (تفاعل الضوء) في الأوساط الضوئية سوف نستخدم النموذج الكلاسيكي الذي يعتبر أن الضوء عبارة عن موجات كهرومغناطيسية، وأن الذرات (الجزيئات) عبارة عن ثنائيات أقطاب متذبذبة، كما يفترض وجود عدة أنواع من هذه المتذبذبات خلال الوسط لكل منها تردد رئيسي مميز Resonance frequency وأهمها: المتذبذبات الذرية Atomic Oscillators الناشئة عن الإلكترونات المربوطة Bound electrons في الذرة، المتذبذبات الاهتزازية Vibrational Oscillators الحادثة عند الترددات المنخفضة في المنطقة IR، ومتذبذبات الإلكترونات الحرة Free electrons المسئولة عن الخصائص الضوئية الأساسية في المعادن. وبعد هذا النموذج كافيا للحصول على معلومات هامة عن الخصائص الضوئية، كما يجعلنا قادرين على حساب اعتماد كل من ثابت العزل المركب، معامل الامتصاص، ومعامل الانكسار على التردد، بالإضافة إلى إمكانية الحصول على إطار من المعلومات عن التأثيرات الناتجة بسبب عدم التمايز الضوئي Optical anisotropy في البلورات. وكما سترى من خلال دراسة المتذبذبات في الوسط، فإن انتشار الضوء في الأوساط الضوئية يرتبط بعاملين مؤثرين هما معامل الانكسار ومعامل الامتصاص.

المهتزات الذرية Atomic Oscillators

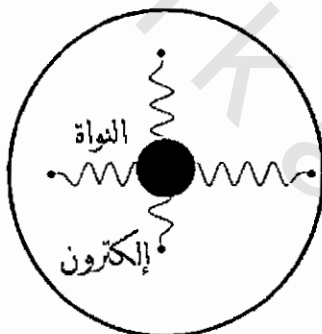
اقتصر لورنس عام 1878 نموذجا يفترض فيه أن «الذرات عبارة عن ثنائية أقطاب مهتزة»، حيث أمكن باستخدام هذا النموذج وبدلة معطيات النظرية الكهرومغناطيسية تفسير حقيقة أن «الذرة تشع وتمتص الطاقة عند ترددات منفصلة». شكل (6-12) يوضح هذا النموذج، حيث يفترض أن الإلكترون يتواجد في مدار مستقر حول النواة ومربوط إليها بزبنبرك يمثل القوة الراددة للإزاحات الصغيرة عن وضع الاتزان.

ويتكون ثنائي القطب من شحنتى الإلكترون السالبة والنواة الموجبة، وقيمه تتناسب مع المسافة بينهما، ومن الطريف أن لورنس أفترض وجود ثنائي القطب دون أن يعرف مصدراً لشحنتى قطبيه، وذلك لأن الإلكترونات والنواة لم يتم اكتشافهما إلا بعد طومسون (عام 1897) ورذرفورد (عام 1911).

التردد الرئيسي الطبيعي (ω_0) لثنائي القطب الذري يحدد بواسطة الكتلة والقوة الرادعة، حيث تعطى الكتلة للإلكترون والنواة معاً (reduced mass) من العلاقة الآتية:

$$\frac{1}{u} = \frac{1}{m_0} + \frac{1}{m_N} \quad (12-31)$$

حيث m_0 ، m_N هما كتلتا الإلكترون والنواة على الترتيب، وبما أن $m_0 \gg m_N$ فإن $m_0 \approx u$. فإنه يكون صحيحاً لدرجة كبيرة اعتبار أن $m_0 = m_N$.



شكل (6-12): نموذج لورنس (الذرات عبارة عن ثنائية أقطاب مهتزة)

وتحدد القوة الرادعة بدلالة ثابت الزنبرك، ويختار بحيث تتطابق مع أحد الترددات الطبيعية للذرات، وذلك لوجود العديد من ثنائية الأقطاب في الذرة ذات الترددات الانتقالية المختلفة التي أمكن ملاحظتها من طيف الانبعاث والامتصاص في مدى الإشعاعات الطيفية Vis., UV., NIR. أي في المدى $H_2 \cdot 10^{15} - 10^{14}$.

$$i.e \quad \omega_0 = \sqrt{\frac{k_s}{u}} \quad (12-32)$$

ولفهم الارتباط بين ثنائية القطب الذري وطيف الانبعاث (emission spectrum) دعنا نعتبر الاهتزازات الناشئة من ثنائية القطب المبين في شكل (٦-١٢)، حيث يتكون من شحنة موجبة (+q) عند الموضع (٢) وشحنة سالبة (-q) عند الموضع (١)، لذا يكون العزم هو:

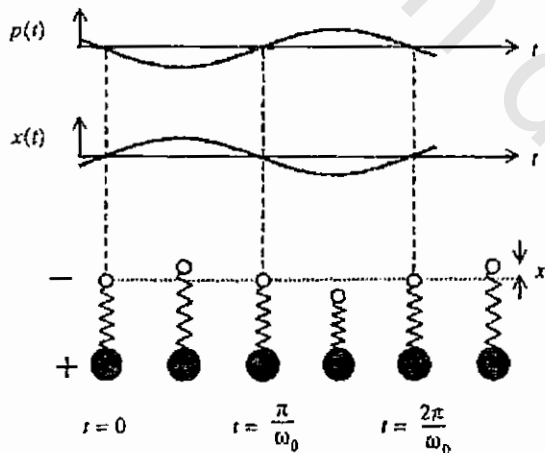
$$P = q(r_+ - r_-) \quad (12-33)$$

وفي حالتنا هذه يتكون ثنائي القطب من نواة موجبة والإلكترون سالب وتكون قيمة عزمه $|e|r_N - e|r_+$. وأثناء الاهتزاز يمكن اعتبار النواة ثابتة في مكانها لثقل كتلتها، بينما يتذبذب الإلكترون جيئة وذهابا بتردد ω_0 ، وبالتالي ينتج ثنائي قطب قيمة عزمه تعتمد على الزمن وتعطى من العلاقة الآتية:

$$P(t) = -ex(t) \quad (12-34)$$

حيث $x(t)$ هي إزاحة الإلكترون عن موضع استقراره عند أي لحظة زمنية t (شكل ١٢-٧). ثنائي القطب المتذبذب ينتج موجات كهرومغناطيسية بتردد ω_0 ، وبالتالي تتوقع أن تقوم الذرة بإشعاع ضوء عند التردد الرئيسي إذا امتصت طاقة كافية لإثارة هذه الاهتزازات.

دعنا باستخدام هذا النموذج نحاول فهم كيفية تعامل الذرة مع الموجة الكهرومغناطيسية الخارجية عند تردد ω . المجال الكهربى المتردد للموجة يؤثر بقوة على كل من الإلكترون والنواة، وبالتالي يقود الحركة الاهتزازية للنظام عند هذا التردد، وعندما تتطابق ω مع أحد الترددات الطبيعية للذرة ω_0 يحدث ما يسمى بظاهرة الرنين، حيث تصبح سعة الاهتزازة كبيرة جداً ويحدث امتصاص للطاقة الخارجية



شكل (١٢-٧): تغير كل من عزم ثنائي القطب وإزاحة الإلكترون مع الزمن في الاهتزازة الذرية

بواسطة الذرة والتي قيمتها تحدد بمعامل الامتصاص a . ويؤدي ذلك إلى اضمحلال شدة الموجة طبقاً لقانون بيير. وهذا هو ما نعرفه الآن من النظرية الكمية، حيث تغير الذرة إلى حالة إثارة بامتصاصها لفوتون، وهذا لا يحدث إلا إذا كانت $E_1 - E_2 = \hbar\omega$ ، حيث

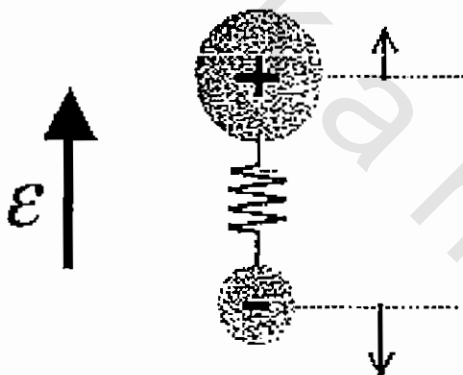
E_2 , E_1 ما الطاقتان الكميتان للحالات الابتدائية (حالة الاستقرار ground state) والنهاية (حالة الإثارة excited state) على الترتيب. وبمجرد حدوث الإثارة، يمكن للذرة أن تعود إلى حالتها المستقرة بعدد من الانتقالات التي لا يصدر عنها إشعاع كهرومغناطيسي، حيث تتحول الطاقة المفقودة من الفوتون المتخصص إلى حرارة، وبعد فترة ما من الزمن (relaxation time) تعود الذرة إلى حالتها المستقرة مع حدوث عملية إشعاع لفوتون Luminescence). هذه الفوتونات المتبعثة لا تكون ملتصقة مع بعضها البعض بل تنبعث في جميع الاتجاهات بما فيها اتجاه الموجة الساقطة، وبالتالي يكون هناك نقص في الطاقة المنسابة في اتجاه الشعاع تكافئ الطاقة المتخصصة.

أما إذا كانت ω لا تتطابق مع الترددات الرنينية، فإن الذرات لا تمتلك الطاقة، ويكون الوسط شفافاً للضوء (optical transparent). في هذه الحالة فإن الموجات الضوئية تقود الاهتزازات غير الرنينية للذرة عند تردد ω ، وتنصاع الاهتزازات الذرية لهذه الموجة الموجهة لكن مع وجود تأخير طوري (phase Lag) يؤدي إلى إعاقتها (damping) لتصبح اهتزازات مخمدة. وتقوم كل الذرات المهتززة بإعادة الإشعاع في نفس اللحظة، ويتجمع التأخير الطوري المكتسب خلال الوسط ليعرقل انتشار مقدمة الموجة. وهذا يفسر سبب صغر سرعة الانتشار في الوسط عنها في الفراغ. هذا النقص في السرعة بين الوسطين يعتبر صفة مميزة لعامل الانكسار. بطيء الموجة بسبب التفاعل اللازني ي يمكن اعتباره تكراراً لعملية التبعثر (repeated scattering) وتتصرف الذرة كأنها مصدر نقطي لهيجنز (Huygen's point source). الضوء المبعثر يتداخل تداخلاً بناءً في الاتجاه الأمامي، وتداخلاً هداماً في كل الاتجاهات الأخرى بحيث لا يتغير اتجاه الشعاع الساقط، إلا أن كل واقعة تبعثر تتضيّف تأثراً طورياً ينشأ عنده إبطاء لانتشار مقدمة الموجة خلال الوسط.

المتذبذبات الاهتزازية الآيونية Ionic Vibrational Oscillators

الوسط الضوئي يمكن أن يحتوى أنواعاً أخرى من ثنائيات الأقطاب المتذبذبة بالإضافة إلى تلك الناتجة عن الإلكترونات المرتبطة للذرة، فإذا كان الوسط آيونيا، فإنه يحتوى على آيونات مختلفة الشحنة. اهتزازات هذه الذرات المشحونة (آيونات) حول مواضع استقرارها خلال الشبكة البلورية ينتج عنها عزوم ثنائيات أقطاب، لذلك لابد أن يؤخذ في الاعتبار التأثيرات الناتجة عن هذه المتذبذبات الاهتزازية عند دراسة تفاعل

الضوء مع الأوساط الضوئية المتأينة. شكل (12-8) يبين مخططًا لجزيء قطبي (Polar molecule)، حيث يتكون من ذرتين مشحونتين ومربوطتين معاً في وضع مستقر بواسطة زنبرك يمثل الرابطة بينهما. هذه الذرات المشحونة يمكنها الاهتزاز حول مواضع استقرارها مكونة ثنائيات أقطاب كهربائية متذبذبة بطريقة تشبه الإلكترونات المرتبطة في الذرات. وبالرجوع إلى العلاقة (32-12) يمكن ملاحظة أن الاهتزازات الناتجة تحدث عند ترددات أقل لأن الكتلة (reduced mass) أكبر. لذلك، تحدث الاهتزازة الجزيئية في المنطقة IR بتردد $10^{12} - 10^{13}$ Hz، وتكون مصحوبة بخطوط امتصاص قوية. وفي البلورات الصلبة المكونة من جزيئات قطبية كثيفة تترتب الذرات في تتابع تبادل من الأيونات الموجبة والسلبية، حيث تهتز حول مواضع اتزانها مؤدية إلى ظهور موجات في الوسط. هذه الاهتزازات تنتهي لاهتزازات الشبكية (lattice vibration) وتحدث في مدى الأشعة تحت الحمراء.



شكل (12-8): الاهتزازة الآيونية لجزيء قطبي

مهتزات الإلكترونات الحرة Free electron Oscillators

تعتبر ثنائيات الأقطاب الاهتزازية والإلكترونية سابقة الذكر أمثلة للمتذبذبات المرتبطة. وعلى النقيض من ذلك، فإن الإلكترونات الحرة الموجودة بكم هائل في كل من المعادن وأشباه الموصلات المنحلة تكون غير مربوطة لأى من الذرات، وبالتالي لا توجد أى قوة رادة عندما يحدث لها إزاحة. هذا يعني أن ثابت الزنبرك في المعادلة (32-12) يساوى صفرًا، وبالتالي يكون التردد الرئيسي الطبيعي ω_0 يساوى صفرًا. هذا يقودنا إلى الاستنتاج العام أن نموذج المتذبذب ثنائي القطب يكون صالحًا لكل الترددات عدا الحالة التي فيها $\omega_0 = \omega$. وهذا يعني أيضًا أن نموذج المتذبذب ثنائي القطب لا يصلح

لوصف حالة نظام حوامل الشحنة الحرة، ويستخدم لوصف هذه الحالة ما يسمى بنموذج درودي - لورنس (Drude - Lorentz) الذى يضم نموذجى درودى لموصلية الإلكترونات الحرة ونموذج لورنس لثنائي القطب التذبذب معا.

نحاول الآن استخدام هذا النموذج لإيجاد اعتماد كل من معامل الانكسار ومعامل الامتصاص على التردد، مما يتاح الحصول على معلومات هامة عن تشتت معامل الانكسار (Dispersion) فى الأوساط الضوئية ويعطى تصوراً لارتباط ظاهرة الامتصاص بمعامل الانكسار. لذلك، نعتبر التفاعل بين موجة ضوئية وذرة فى حالة وجود تردد رنينى ووحيد ω_0 يتصل بالعلاقة (12-32)، حيث تمثل إزاحة ثانويات الأقطاب الذرية بمعادلة توافقية مخدمة (damped harmonic) بسبب فقد الطaci فى أثناء عمليات التصادم. وكما سنرى فإن حد التخميد يسبب نقصاً فى قيمة معامل الامتصاص ويؤدى إلى تعريض (توسيع) خطوط الامتصاص.

المجال الكهربى للموجة الضوئية يحدث اهتزازات قسرية (Forced) على ثنائية القطب الذرى بسبب القوة المؤثرة على الإلكترونات، فإذا اعتبرنا أن $m_N >> m_e$ ، فإنه يمكن إهمال حركة النواة، وبالتالي تحكم إزاحة الإلكترون بمعادلة الحركة الآتية:

$$m_e \frac{d^2x}{dt^2} + m_e \gamma \frac{dx}{dt} + m_e \omega_0^2 x = -eE \quad (12-35)$$

حيث γ - هي معدل التخميد Damping rate. وتمثل حدود الطرف الأيسر للمعادلة (12-35) قوة التعجيل، قوة التخميد (تعتبر قوة احتكاك)، حيث أنها تتناسب مع السرعة وتمانع الحركة) والقوة الراددة على الترتيب. والطرف الأيمن يمثل قوة المجال الكهربى المتردد (driving force) للموجة الضوئية. وبفرض أن الموجة الضوئية وحيدة اللون (monochromatic) وترددتها الزاوية، فإنه يمكن كتابة شدة المجال كدالة فى الزمن بالصورة الآتية:

$$\epsilon(t) = \epsilon_0 e^{-i\omega t} \quad (12-36)$$

وبالمثل يمكن كتابة الإزاحة بالصورة الآتية:

$$x(t) = x_0 e^{-i\omega t} \quad (12-37)$$

وبالتعويض في العلاقة (12-35-35) نجد أن:

$$(-m_e \omega^2 x_0 - i m_e \gamma \omega x_0 + m_e \omega_0^2 x_0) e^{-i\omega t} = e \epsilon_0 e^{-i\omega t} \quad (12-38)$$

ومنها نحصل على:

$$x_0 = \frac{-e\epsilon_0/m_0}{\omega_0^2 - \omega^2 - i\gamma\omega} \quad (12-39)$$

هذه الإزاحة للإلكترونات عن مواضع اتزانها تسبب ظهور عزم ثنائي قطب $P(t)$ متغير مع الزمن وتعطى قيمته بالعلاقة $P(t) = -e x(t)$. وهذا يعطى مشاركة رنينية في الاستقطاب (عزم ثنائي القطب في وحدة الحجوم) في المادة. فإذا كان N هو عدد الذرات في وحدة الحجوم، فإن:

$$\begin{aligned} P_{\text{resonant}} &= NP \\ &= -Nex \\ &= \frac{Ne^2}{m_0(\omega_0^2 - \omega^2 - i\gamma\omega)} \epsilon \end{aligned} \quad (12-40)$$

واضح من العلاقة (12-40) أن قيمة P_{resonant} صغيرة ما لم يقترب التردد ω من القيمة ω_0 . وهذه صفة عامة للمهتزات القسرية، أي أن الاستجابة الضوئية للمادة تكون ضعيفة ما لم يقترب التردد من ω_0 .

والمعادلة (12-40) يمكن استخدامها للحصول على ثابت العزل النسبي ϵ_r ، حيث ترتبط الإزاحة الكهربائية (electric displacement) D للوسط مع المجال الكهربائي ϵ والاستقطابية P من خلال العلاقة الآتية:

$$D = \epsilon_0 \epsilon + P \quad (12-41)$$

ولما كانت الاستجابة الضوئية للمادة تحدث عند الترددات القريبة من ω_0 ، فإنه يفضل تقسيم الاستقطاب إلى جزءين، جزء غير ريني ويرمز له بالرمز $P_{\text{background}}$ وآخر ريني P_{resonant} ينشأ بسبب الاستجابة القسرية للمتذبذب.

$$\text{i.e. } D = \epsilon_0 \epsilon + P_{\text{background}} + P_{\text{resonant}}$$

$$\begin{aligned} &= \epsilon_0 \epsilon + \epsilon_0 \chi \epsilon + P_{\text{resonant}} \\ &= \left[\epsilon_0 + \epsilon_0 \chi + \frac{Ne^2}{m_0} \cdot \frac{1}{(\omega_0^2 - \omega^2 - i\gamma\omega)} \right] \epsilon \end{aligned} \quad (12-42)$$

حيث χ هي السماحية الكهربائية electric susceptibility للوسط ولتبسيط رياضياً، نفرض أن المادة متماثلة الخواص في كل الاتجاهات (isotropic)، حيث تكون:

$$D = \epsilon_0 \epsilon_r \epsilon \quad (12-43)$$

وبمقارنة العلاقتين (12-42)، (12-43) نجد أن ثابت العزل النسبي كدالة في التردد يعطى بالعلاقة الآتية:-

$$\epsilon_r(\omega) = 1 + \mathfrak{X} + \frac{Ne^2}{\epsilon_0 m_0} \cdot \frac{1}{(\omega_0^2 - \omega^2 - i\gamma\omega)} \quad (12-44)$$

وهذه العلاقة يمكن تجزئتها إلى جزئين حقيقي ϵ_1 وتخيلي ϵ_2 كالتالي :

$$\epsilon_1(\omega) = 1 + \mathfrak{X} + \frac{Ne^2}{\epsilon_0 m_0} \cdot \frac{\omega_0^2 - \omega^2}{(\omega_0^2 - \omega^2)^2 + (\gamma\omega)^2} \quad (12-45)$$

$$\epsilon_2(\omega) = \frac{Ne^2}{\epsilon_0 m_0} \cdot \frac{\gamma\omega}{(\omega_0^2 - \omega^2)^2 + (\gamma\omega)^2} \quad (12-46)$$

ويمكن الحصول على تبسيط أكثر للعلاقتين السابقتين عندما تكون الترددات قريبة من الرنين، حيث تكون $\gamma \gg \omega_0 \approx \omega$ ، وهذا يسمح لنا بالتقريب التالي:

$$\begin{aligned} \omega_0^2 - \omega_2 &= (\omega_0 + \omega)(\omega_0 - \omega) \\ &= 2\omega_0 \Delta\omega \end{aligned}$$

ويعطى ثابت العزل النسبي عند الحد الأدنى ($\omega = 0$) والأقصى ($\omega = \infty$) للتردد كالتالي :

$$\epsilon_r(0) = \epsilon_{st} = 1 + \mathfrak{X} + \frac{Ne^2}{\epsilon_0 m_0 \omega_0^2} \quad (12-47)$$

$$\epsilon_r(\infty) = \epsilon_\infty = 1 + \mathfrak{X} \quad (12-48)$$

حيث ϵ هو ثابت العزل النسبي في المجال الكهربائي الاستاتيكي الذي لا يتغير مع الزمن.

المعادلتان (12-47)، (12-48) يمكن صياغتهما بالشكل الآتي :

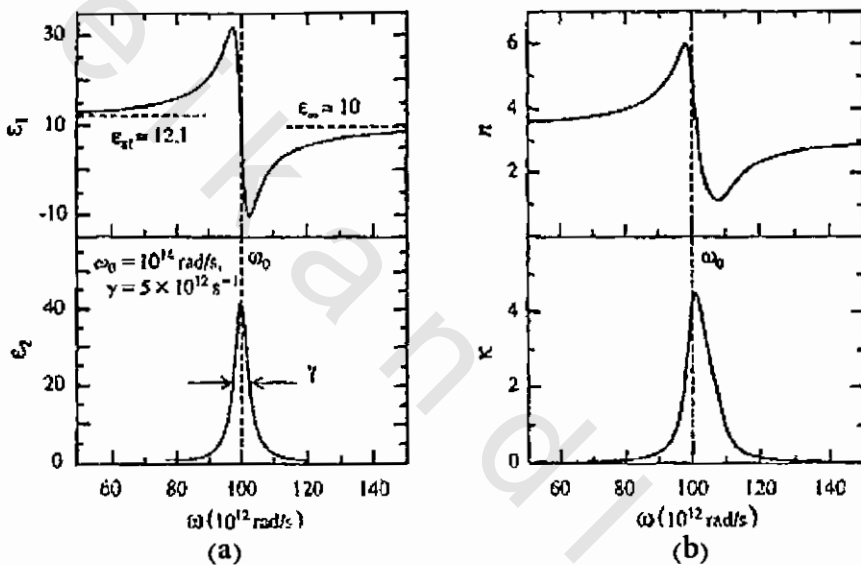
$$\epsilon_{st} - \epsilon_\infty = \frac{Ne^2}{\epsilon_0 m_0 \omega_0^2} \quad (12-49)$$

وأخيراً، نعيد كتابة العلاقتين (12-45)، (12-46) في صيغتين صالحتين للاستخدام عند قيم الترددات القريبة من التردد الرئيسي كالتالي :

$$\epsilon_1(\Delta\omega) = \epsilon_\infty - (\epsilon_{st} - \epsilon_\infty) \frac{2\omega_0 \Delta\omega}{4(\Delta\omega)^2 + \gamma^2} \quad (12-50)$$

$$\epsilon_2(\Delta\omega) = (\epsilon_{st} - \epsilon_\infty) \frac{\gamma\omega_0}{4(\Delta\omega)^2 + \gamma^2} \quad (12-51)$$

العلاقتان (12-50)، (12-51) تصفان خط امتصاص ذري حاد يتمرّكز حول القيمة ω ويتميز باتساع نصف قمة (half maximum width) يساوي γ . تمثيل العلاقة بين كل من ϵ_1, ϵ_2 المعطيتين بالعلاقتين (12-50)، (12-51) على الترتيب مع التردد لقيم ω القريبة من ω_0 ، وباستخدام قيم للثوابت $\epsilon_{st} = 12.1$ ، $\epsilon_\infty = 10$ ، $\omega_0 = 10^{14} \text{ rad s}^{-1}$ ، $\gamma = 5 \times 10^{12} \text{ s}^{-1}$ تكافئ القيم الخاصة بخطوط امتصاص الأشعة تحت الحمراء في البليورات الآيونية نحصل على تغير للدالتين $(\Delta\omega)_1, (\Delta\omega)_2$ كالبينين في شكل (12-9). نلاحظ أن العلاقة $(\omega_2/\omega_1)^2$ عبارة عن دالة قمية peaked function تقع قعتها عند ولها اتساع نصف قمي يساوى γ .



شكل: (12-9) إعتماد كل من مركبتي ثابت العزل (a) ومعامل الانكسار والانقراض (b) على التردد عند قيم قريبة من التردد الرئيسي

الدالة $(\omega_2/\omega_1)^2$ تبدو أكثر تعقيداً، حيث تزداد تدريجياً بالاقتراب من ω_0 من جهة قيمة الترددات الأقل بدءاً بـ ϵ_{st} لتصل إلى قيمتها العظمى عندما $\omega = \omega_0 + \gamma/2$ ، ثم يحدث هبوط حاد لها وتتم بقيمة صغرى عندما $\omega = \omega_0 - \gamma/2$ ، ثم تزداد لتصل للقيمة ϵ_∞ عند حد التردد العالى. واضح أن مدى الترددات الذى تتأثر فيه قيم يتحدد بقيمة ϵ_1, ϵ_2 وهذا يوضح أن تأثير التخميد على الاهتزازة يسبب توسيع الخط الطيفي (Line broadening). اعتماد مركبتي ثابت العزل ϵ_1, ϵ_2 على التردد المبين في شكل (12-9) يسمى اعتماد لورنس (Lorentzian depen.).

شكل (9-12) يبين أيضاً المنحنيين الخاصين بالذالتين (ω, n) ، (ω, K) واللتين تم حسابهما من العلاقات $(12-22)$ ، $(12-23)$ على الترتيب. نلاحظ تشابهاً عاماً في سلوك $n(\omega)$ مع $\epsilon_1(\omega)$ وكذلك في سلوك $K(\omega)$ مع $\epsilon_2(\omega)$ بشكل يوحى بأنهما تطابقان العلاقات $n = \sqrt{\epsilon_1}$ ، $K = \epsilon_2/n$ ، ω ، ϵ_1 ، ϵ_2 الخاصتين بحالات الامتصاص الضعيف. ويكون هذا التشابه في السلوك تاماً إذا كانت K صغيرة جداً بحيث $n > K$ ، وهو ما يطابق حالة الوسط الغازى الذى يبدي امتصاصاً ضعيفاً بسبب صغر كثافته الذرية. أما فى حالتنا هذه المبينة بشكل (12-9) فإن التشابه يعتبر تقريرياً بسبب الامتصاص الكبير الحادث عندما $\omega = 0$ ، حيث لا يمكن افتراض أن $n < K$ ، وهو السلوك المتوقع لخط الامتصاص الذرى.

الحالات الرنينية المتعددة Multiple resonance

يمتلك الوسط الضوئي عموماً العديد من الترددات الرنينية المميزة، حيث يمكن أن نلاحظ حالات رنين مختلفة بسبب اهتزازات الشبكة وتذبذبات الإلكترونات المرتبطة خلال الذرة كما ذكرنا، وقد يكون ممكناً لوسط ما أن يحتوى على العديد من كل نوع من أنواع هذه التذبذبات التي يمكن التعامل معها دون صعوبة باعتبار أنها توجد عند ترددات مختلفة. وفيما سبق قمنا بتقسيم الاستقطاب إلى جزءين رينيني وغير رينيني، وسوف ينصب اهتمامنا هنا على الجزء الرنيني.

تعطى مشاركة متذبذب ما في الاستقطاب بالعلاقة الآتية:

$$P_{\text{reson}} = NP = -Nex$$

$$= \frac{Ne^2}{m_o} \frac{1}{(\omega_o^2 - \omega^2 - i\gamma\omega)} \epsilon$$

وفي الوسط الذي يحتوى على العديد من المتذبذبات الإلكترونية ذات الترددات المختلفة، فإن الاستقطاب الكلى يعطى كالتالى:

$$P = \left[\frac{Ne^2}{m_o} \sum_j \frac{1}{(\omega_j^2 - \omega^2 - i\gamma_j\omega)} \right] \epsilon \quad (12-52)$$

حيث، هما التردد ومعامل التخميد لخط رينيني معين على الترتيب.
وباستخدام العلاقات $(12-41)$ ، $(12-52)$ نجد أن:

$$\mathbf{D} = \epsilon_0 \mathcal{E} + \mathbf{P}$$

$$= \epsilon_0 \mathcal{E} + \left[\frac{Ne^2}{m_o} \sum_j \frac{1}{(\omega_j^2 - \omega^2 - i\gamma_j \omega)} \right] \mathcal{E}$$

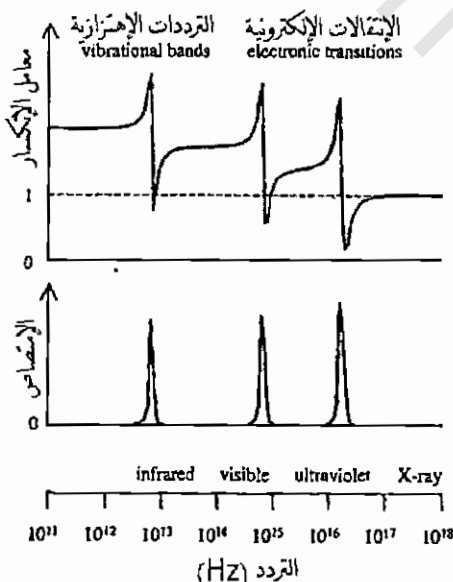
$$= \epsilon_0 \left[1 + \frac{Ne^2}{m_o \epsilon_0} \sum_j \frac{1}{(\omega_j^2 - \omega^2 - i\gamma_j \omega)} \right] \mathcal{E}$$

وبمقارنة العلاقة الأخيرة بالعلاقة (12-43) نجد أن:

$$\epsilon_r(\omega) = 1 + \frac{Ne^2}{m_o \epsilon_0} \sum_j \frac{1}{(\omega_j^2 - \omega^2 - i\gamma_j \omega)} \quad (12-53)$$

شكل (10-12) يبيّن اعتماد كل من معامل الانكسار والامتصاص المحسوبين باستخدام العلاقة (12-53) على التردد. ولفهم هذا الشكل دعنا نبدأ بالترددات العالية في اتجاه الترددات الأدنى. للقيم العالية جداً من التردد لا تستطيع الإلكترونات التجاوب مع المجال، وبالتالي لا يمتلك الوسط استقطابية ويكون ثابت العزل مساوياً للوحدة، ومع تقليل التردد تظهر الانتقالات الحادثة بواسطة الإلكترونات الداخلية في المناطق الطيفية Vis، UV، x-ray، ثم الانتقالات الإلكترونات الخارجية في منطقة UV.

بعدها منطقة خالية تستقر حتى الوصول إلى الترددات الاهتزازية في المنطقة IR. كل من هذه الترددات الرئيسية تعطى الخصائص الترددية المميزة لتدبّب لورنس، حيث تظهر قمة في طيف الامتصاص، وهزّة wiggle في معامل الانكسار. أما في المنطقة البينية فالوسط يعتبر شفافاً، حيث يكون معامل الامتصاص مساوياً للصفر، ومعامل الانكسار يكون ثابتاً تقريباً.



شكل (10-12): اعتماد معامل الانكسار والامتصاص على التردد لوسط عديد الترددات الرئيسية

يزداد معامل الانكسار في اتجاه نقص التردد وذلك لأن $\epsilon_r < \infty$ وهو ما يعني أن قيمة n تحت خط الامتصاص أكبر منها فوقه. أي مع عبور الحالات الرنينية في اتجاه نقص التردد واحدة تلو الأخرى تزداد قيمة n .

وعموماً، فلقد تنبأ نموذج المتذبذب ثنائي القطب أن كل متذبذب يضيف حداً أو خطأ لامتصاص (العلاقة 12-40)، وهذا يعني وجود مجموعات من خطوط الامتصاص التي لها نفس الشدة، إلا أن النتائج العملية بينت أن شدة الامتصاص تختلف بوضوح بين الانتقالات الذرية المختلفة بسبب تغير احتمال الانتقال الميكانيكي الكمي، فإذا كانت f_j هي شدة المتذبذب oscillator strength لكل انتقال، فإن المعادلة (12-53) تصبح كالتالي:

$$\epsilon_r = 1 + \frac{Ne^2}{m_0\epsilon_0} \left[\sum_j \frac{f_j}{(\omega_j^2 - \omega^2 - i\gamma_j\omega)} \right] \quad (12 - 54)$$

ويمكن بيان أنه من النظرية الكمية لابد أن يكون $\sum_j f_j = 1$ ، في حين تنبأ النموذج الكلاسيكي أن $f_j = 1$ لكل متذبذب. وتفسير ذلك هو أن الإلكترون يمكن أن يكون متواجاً في انتقالات عديدة في نفس الوقت، وأن قوة الامتصاص قد تكون مقسمة بين هذه الانتقالات.

تصحيح المجال الموضعي Local field Correction

تعتبر العلاقة (12-54) صالحة لحساب ثابت العزل في حالة الغازات بسبب الكثافات الذرية الصغيرة لها. أما في حالة الجوامد، كوسط ضوئي كثيف، فإنه يوجد عامل آخر لابد أن يؤخذ في الاعتبار، وهو تأثير ثنائية الأقطاب الذرية الأخرى والتي يتولد عنها مجالات كهربية، وبالتالي يكون المجال الموضعي الفعلى المؤثر على الذرة كالتالي:

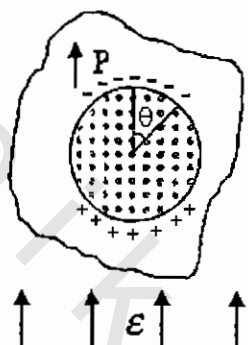
$$\epsilon_{local} = \epsilon + \epsilon_{others} \quad (12-55)$$

حيث ϵ المجال الخارجي، ϵ_{others} المجال الناتج عن ثنائية الأقطاب الأخرى. وحساب المجال المصحح ϵ_{others} الناشئ، بسبب تأثير ثنائية الأقطاب الذاتية يعتبر معقداً جداً. إلا أن هناك حل تقريبياً للورنس يمكن اشتراكه إذا افترضنا أن كل ثنائية الأقطاب تأخذ اتجاهها موازياً لاتجاه المجال ومرتبة في شبكة مكعبية، حيث ترسم كرة وهمية حول ذرة معينة (شكل 11-12) بحيث تقسم الوسط إلى ثنانيات أقطاب قريبة

وآخرى بعيدة. ويحسب المجال الناتج من الثنائيات البعيدة عن طريق التعامل مع الوسط خارج الكرة على أنه عازل منتظم الاستقطاب. وبهذه الطريقة يمكن الحصول على النتيجة التالية:

$$\epsilon_{\text{others}} = \frac{P}{3\epsilon_0} \quad (12-56)$$

حيث P هي استقطابية العازل خارج الكرة.



شكل (12-11): طريقة لورنس
لحساب المجال الموضعي

وتصبح العلاقة (12-55) كالتالى:

$$\epsilon_{\text{Local}} = \epsilon + \frac{P}{3\epsilon_0} \quad (12-57)$$

وتعطى الاستقطابية الماكروسโคبية من العلاقة:-

$$P = N \epsilon_0 \chi_0 \epsilon_{\text{local}} \quad (12-58)$$

حيث السماحية الذرية (*susceptibility/atom*)، وتكون الاستقطابية للذرة الواحدة هي:

$$P = \epsilon_0 \chi_0 \epsilon_{\text{local}} \quad (12-59)$$

وباستخدام العلاقة (12-40) نجد أن:

$$P = \frac{e^2}{m_0} \frac{1}{(\omega_0^2 - \omega^2 - i\gamma\omega)} \epsilon_{\text{Local}}$$

وبمقارنة العلاقاتتين الأخيرتين نحصل على:

$$\chi_a = \frac{e^2}{\epsilon_0 m_0} \frac{1}{(\omega_0^2 - \omega^2 - i\gamma\omega)} \quad (12-60)$$

وفي حالة وجود حالات رنينية متعددة، فإن العلاقة (12-60) تصبح كالتالى:

$$\chi_a = \frac{e^2}{\epsilon_0 m_0} \sum_j \frac{f_j}{(\omega_j^2 - \omega^2 - i\gamma_j\omega)} \quad (12-61)$$

علاقة كلاوزيس - موزيتى relation Clausius - Mossetti

من (41-12)، (43-12) نجد أن:

$$P = (\epsilon_r - 1) \epsilon_0 \epsilon$$

ومن (57-12)، (58-12) نجد أن:

$$\begin{aligned} P &= N \epsilon_0 \chi_a \left(\epsilon + \frac{P}{3\epsilon_0} \right) \\ \therefore N \epsilon_0 \chi_a \left(\epsilon + \frac{P}{3\epsilon_0} \right) &= (\epsilon_r - 1) \epsilon_0 \epsilon \end{aligned} \quad (12-62)$$

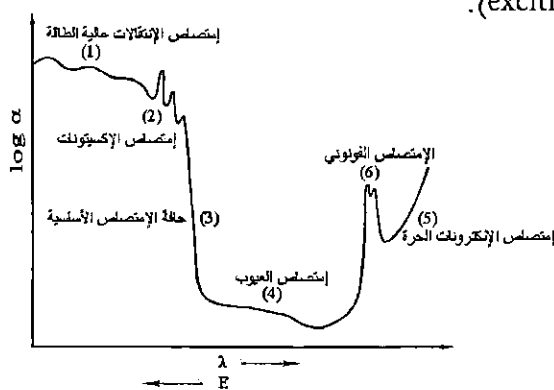
$$\text{i.e. } \frac{\epsilon_r - 1}{\epsilon_r + 2} = \frac{N \chi_a}{3} \quad (12-63)$$

وتسمى العلاقة (63-12) بعلاقة كلاوزيس - موزيتى. وهى صالحة تماماً في حالة الغازات والسوائل، كما أنها تصلح أيضاً للبلورات المكعبة، وذلك لأن تصحيح لورنس يعطى نتائج دقيقة لحساب تأثيرات المجال الموضعى في هذه البلورات.

الامتصاص الضوئي optical absorption

يحدث الامتصاص الضوئي في الجسم الصلب بواسطة العديد من العمليات الإلكترونية كما يتضح من طيف الامتصاص (شكل 12-12)، فإذا بدأنا من الطاقات العالية في الاتجاه الأقل، فإن الامتصاص الضوئي يحدث بشكل أساسى خلال العمليات التالية:

- ١- الانتقال الإلكتروني من أو إلى المناطق ذات الطاقات الأكبر منها للفاصل الطاقى الأساسي لمنطقى التكافؤ والتوصيل.
- ٢- امتصاص الطاقة الضوئية وتكون الزوج المترابط من حاملى الشحنة (إلكترون - فجوة) والسمى إكسيتون (exciton).



شكل (12-12): الشكل العام
لطيف الامتصاص الضوئي.

- ٣- انتقال الإلكترونات من أقصى قمة منطقة التكافؤ إلى قاع منطقة التوصيل والسمى بحافة الامتصاص الأساسية Fundamental absorption.
- ٤- الانتقال من مواقع العيوب البلازمونية إلى منطقة ما أو خلال المستويات الطاقية للعيوب ذاتها.
- ٥- انتقال الإلكترونات الحرة إلى حالة طاقية أعلى في نفس المنطقة أو إثارة الاهتزازات البلازمونية.
- ٦- الامتصاص الضوئي لإثارة اهتزازات الشبكية.
- وسوف نتناول بعضاً من هذه العمليات بتفصيل أكثر خلال هذا الفصل.

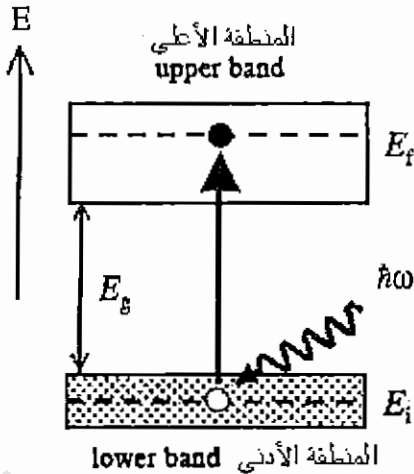
الانتقال الإلكتروني بين المناطق الطاقية Interband transition الانتقال المباشر وغير المباشر Direct and indirect transition

شكل (12-13) يبين مخططاً بسيطاً لمنطقتين طاقيتين مسماً بهما منطقة حرمة اتساعها E_g . يحدث الانتقال عندما يقفز الكترون من المنطقة الأقل طاقة بشرط احتوايتها على إلكترونات إلى المنطقة الأعلى ذات الحالات الخالية بواسطة امتصاص فوتون. مثال ذلك، الانتقال الحادث عبر المنطقة الحرمة الأساسية Fundamental gap E_g لشبكة الموصل أول العازل، وفي هذه الحالة يقوم الفوتون بإثارة إلكترون من منطقة التكافؤ إلى منطقة التوصيل. وبتطبيق قانون حفظ الطاقة نجد أن:

$$E_f = E_i + \hbar\omega \quad (12-64)$$

حيث E_i ، E_f هما طاقتا الإلكترون في منطقتي التكافؤ والتوصيل على الترتيب، $\hbar\omega$ هي طاقة الفوتون.

ونظراً لوجود مدى مستمر للحالات الطاقية في كل من المنطقتين العليا والسفلى، فإن الانتقال الإلكتروني يكون متاحاً في مدى متصل من الترددات. هذا المدى يتحدد بواسطة حدود المنطقتين. ولما كانت أصغر قيمة للفرق $E_f - E_i$ تساوي اتساع المنطقة الحرمة E_g ، فإن الانتقال بين المنطقتين لا يكون ممكناً ما لم يتحقق الشرط $\hbar\omega \geq E_g$. مثل هذا النوع من الانتقالات يكون مصحوباً بتكون زوج من حوامل الشحنة (إلكترون في منطقة التوصيل وفجوة في منطقة التكافؤ).



شكل (13-12): الانتقال الإلكتروني عبر المنطقة المحرمة نتيجة إمتصاص فوتون

معدل الطاقة الضوئية المتصلة بهذه الانتقالات تعتمد على تركيب هذه المناطق والموضع النسبي لقمة منطقة التكافؤ وقع منطقة التوصيل، فإذا وقعا في مركز منطقة بريليون ($k = 0$)، فإن المادة تكون ذات فاصل طاقى مباشر (direct gap) ويسمى الانتقال بين المنشقتين بالانتقال المباشر (direct transition) – شكل (12-14.a). أما المواد ذات الفاصل الطاقى غير المباشر (indirect gap) فيكون قاع منطقة التوصيل بها غير واقع عند $k = 0$ ، ولكنه يكون مزاحماً عند حافة منطقة بريليون أو بالقرب منها، ويسمى الانتقال حينئذ بالانتقال غير المباشر (indirect transition) – شكل (12-14.b).

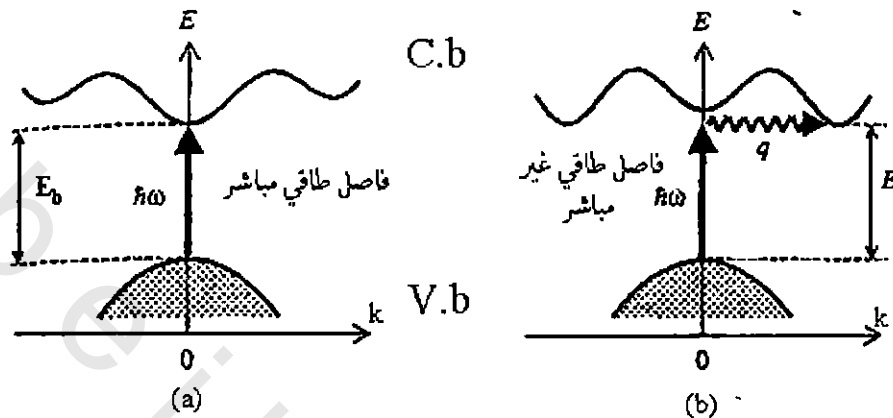
وفي هذه الانتقالات يكون ضرورياً أيضاً حفظ كمية الحركة بين الحالات الابتدائية والنهائية، وهذا يتطلب أن يكون التغير في كمية حركة الإلكترون مساوياً لكمية حركة الفوتون في حالة الانتقال المباشر.

$$\text{i.e. } \hbar k_f - \hbar k_i = \pm \hbar k$$

ولما كان المتجه الموجي للفوتون $k = \frac{2\pi}{\lambda} = 10^7 m^{-1}$ (حيث الطول الموجي للضوء) أصغر كثيراً منه للإلكترون، لأن المتجه الموجي للإلكترون يرتبط بمنطقة بريليون ويساوي π/a حيث $a = 10^{-10} m$ هي ثابت البللورة، لذا فإنه يمكن إهمال كمية تحرك الفوتون في العلاقة السابقة.

$$\text{i.e. } k_f = k_i \quad (12-65)$$

ولذلك، تمثل عملية امتصاص فوتون في حالة الانتقال المباشر بخط رأسى على مخطط العلاقة E (k).



شكل (14-12): الانتقال المباشر (a) وغير المباشر (b)

وفي حالة الانتقال غير المباشر، فإن المتجه الموجى للإلكترون سيتغير بوضوح عندما يقفز من منطقة التكافؤ إلى منطقة التوصيل، ويكون غير ممكن للإلكترون أن يؤدى هذه القفزة بواسطة امتصاص فوتون فقط بسبب صغر المتجه الموجى له، لذا فإن هذا الانتقال لابد أن يشتمل على فونون ليحافظ على بقاء كمية التحرك ثابتة، فإذا كان الإلكترون يشغل الحالة الابتدائية (i, k_i) في منطقة التكافؤ ثم إنطلق إلى الحالة النهائية (f, k_f) في منطقة التوصيل نتيجة حدوث انتقال غير مباشر، فإن حفظ الطاقة يتطلب أن يكون:

$$E_f - E_i = \hbar\omega \pm \hbar U$$

وحفظ كمية الحركة يتطلب أن يكون:

$$\hbar k_f - \hbar k_i = \pm \hbar Q$$

حيث $\hbar Q$ هما طاقة وكمية تحرك الفونون على الترتيب. وتعنى الإشارة (+) امتصاص فونون، والإشارة (-) إشعاع فونون. وأهملت كمية التحرك للفوتون في العلاقة السابقة لصغرها. وعليه، فإن الانتقال غير المباشر يشتمل على فوتونات وفونونات، ولذلك يصنف من وجهة النظر الكمية ضمن العمليات من الرتبة الثانية – second order process، أما الانتقال المباشر يعتبر عملية من الرتبة الأولى وذلك لاحتوائه على فوتونات فقط.

اعتماد معامل الامتصاص على التردد

اعتماد معامل الامتصاص (α) على التردد يمكن تحديده إذا أمكن معرفة كثافة الحالات (joint density of states) للإلكترونات والفجوات ، وكثافة الحالات بدورها يمكن حسابها بتحليل التركيب الطيفي المبسط المبين في شكل (12-15).

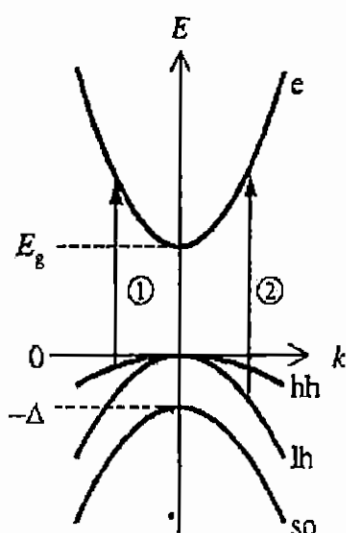
ويتحدد شكل المناطق الطيفية (the dispersion of the bands) بقيم الكتل الفعالة الخاصة بها ، فإذا كانت m_{so} ، m_{lh} ، m_{hh} هي الكتل الفعالة لـ إلكترونات منطقة التوصيل ، للفجوات الثقيلة heavy holes ، للفجوات الخفيفة light holes وللفجوات المنقطة المفصولة split-off holes على الترتيب ، فإنه يمكن لنا كتابة العلاقة $E(k)$ لكل من هذه المناطق كالتالي :

$$E_c(k) = E_g + \frac{\hbar^2 k^2}{2m^*} \quad (12-66)$$

$$E_{hh}(k) = - \frac{\hbar^2 k^2}{2m_{hh}^*} \quad (12-67)$$

$$E_{lh}(k) = - \frac{\hbar^2 k^2}{2m_{lh}^*} \quad (12-68)$$

$$E_{so}(k) = - \frac{\hbar^2 k^2}{2m_{so}^*} \quad (12-69)$$



شكل (12-15): مخطط بسيط للتركيب الطيفي لحساب كثافة الحالات للإلكترونات والفجوات

وبتطبيق قانون حفظ الطاقة في حالة الفجوات الثقيلة أو الخفيفة نجد أن:

$$\hbar\omega = E_g + \frac{\hbar^2 k^2}{2m^*} + \frac{\hbar^2 k^2}{2m_h^*} \quad (12-70)$$

حيث m_h^* ترمز لأى من m_{hh} أو m_{lh} . وبإدخال الكتلة الفعالة U للإلكترون والفجوة معا، حيث:

$$\frac{1}{U} = \frac{1}{m^*} + \frac{1}{m_h^*} \quad (12-71)$$

يمكن تبسيط العلاقة (12-70) لتصبح بالصورة الآتية:

$$\hbar\omega = E_g + \frac{\hbar^2 k^2}{2U} \quad (12-72)$$

وتعطى كثافة الحالات للإلكترونات من العلاقة الآتية:

$$N(E) = \frac{1}{2\pi^2} \left(\frac{2m^*}{\hbar^2}\right)^{\frac{3}{2}} E^{\frac{1}{2}}$$

حيث E - طاقة الإلكترون مقاسة من قاع منطقة التوصيل. وتحسب كثافة الحالات الرابطة $g(\hbar\omega)$ joint density of states للإلكترونات والفجوات عادة من قمة منطقة التكافؤ، بوضع $E = \hbar\omega - E_g$ وإستبدال m بالكتلة U نجد أن:

$$g(\hbar\omega) = \frac{1}{2\pi^2} \left(\frac{2U}{\hbar^2}\right)^{\frac{3}{2}} (\hbar\omega - E_g)^{\frac{1}{2}} \quad (12-73)$$

واضح أن كثافة الحالات تتناسب مع $(\hbar\omega - E_g)^{\frac{1}{2}}$ لكل القيم $\hbar\omega \geq E_g$ ، ولما كان معامل الامتصاص (α) يتتناسب مع كثافة الحالات، فإنه يتتناسب بدوره مع المقدار $\frac{1}{(\hbar\omega - E_g)^{\frac{1}{2}}}$ للانتقال المباشر. أي أن:

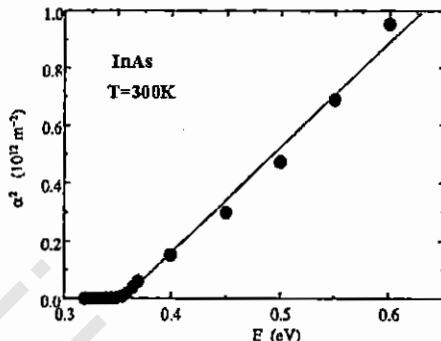
$$\begin{cases} \hbar\omega < E_g & \text{عندما } \alpha = 0 \\ \hbar\omega \geq E_g & \text{عندما } \alpha \sim (\hbar\omega - E_g)^{\frac{1}{2}} \end{cases} \quad (12-74)$$

النتائج العملية لمعامل الامتصاص لأنشباه موصلات III-V ذات الفاصل الطاقي المباشر شكل (12-16) أظهرت علاقة خطية بين α^2 ، $(\hbar\omega - E_g)^{\frac{1}{2}}$ مؤكدة توافقها مع هذا الاستنتاج النظري، إلا أنه لكثير من أنشباه الموصلات (III-V) لا تتفق النتائج العملية والنظرية تماما. وربما يرجع ذلك للأسباب التالية:

- ١- لم يؤخذ في الاعتبار تأثير الكتلة على الامتصاص حيث يكون الامتصاص كبيرا للقيم الكبيرة للكتلة.
- ٢- أهم تأثير الجذب لكولوم بين الإلكترون والفجوة، والذي يحجز تكوين إكسيتونات، حيث يصبح هذا التأثير قويا كلما كان اتساع الفاصل الطاقي كبيرا أو درجة الحرارة منخفضة.

٣- أهم لتأثير الشوائب والتى تتمركز فى منطقة الفاصل الطاقى لأشباه الموصلات و يمكنها امتصاص طاقة ضوئية أقل من الفاصل الطاقى.

٤- حسبت كثافة الحالات على أساس أن المنطقة عبارة عن قطع مكافئ، وهذا صحيح فقط بالقرب من $k=0$.

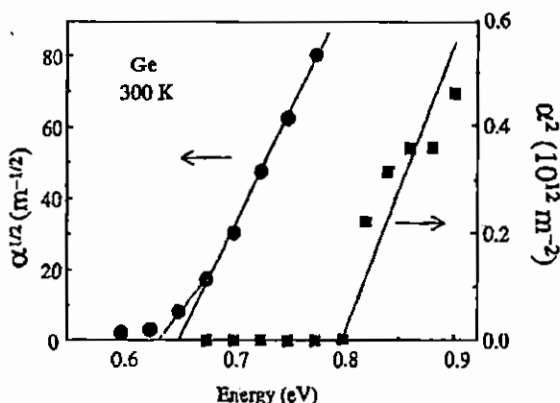


شكل (12-12): علاقه خطية بين $(\hbar\omega - Eg)^2$ ، α^2 لشب الموصل ذى الفاصل الطاقى المباشر

اما في حالة الانتقال غير المباشر والذى فيه امتصاص او إشعاع لفونون، وجد أن معامل الامتصاص يمكن أن يعطى بالصورة الآتية:

$$\alpha^{\text{indirect}} \sim (\hbar\omega - Eg \pm \hbar\bar{U})^2 \quad (12-75)$$

شكل (12-17) يعطى نتائج قياسات الامتصاص للجرمانينوم عند درجة حرارة الغرفة، حيث يتضح أن العلاقة $\sqrt{\alpha}$ مع $\hbar\omega$ في المدى الطيفي القريب من قيمة Eg عبارة عن خط مستقيم، مما يتنق مع العلاقة (12-75)، كذلك نجد أن: $\hbar\bar{U} \approx 0.01 \text{ eV}$. $Eg = 0.66 \text{ eV}$. $\hbar\omega = 0.60 \text{ eV}$ على حدوث امتصاص (فونون ممتص)، كما يدل ذيل المنحنى المتند حتى 0.60 eV على حدوث امتصاص لأكثر من فونون (multiphonon absorption).



شكل (12-17): علاقه خطية بين $\sqrt{\alpha}$ ، $\hbar\omega$ للجرمانينوم ذى الفاصل الطاقى غير المباشر.

انكمash المنطقة المحرمة وامتناء المنطقه المسموحة

Band - gap narrowing and band filling

تتسبب الكثافة العالية للشوائب النقطية point defects في ظهور حوايل شحنة بكثافة كبيرة في المواد شبه الموصلة، مما يؤثر تأثيراً حاداً على التركيب النطاقي للمادة. هذا التأثير يتمثل في تكوين ذيل للمنطقة band tailing، إزاحة حافة الامتصاص الأساسية في اتجاه القيم الطاقية الأعلى Blue shift والمعروفة بتأثير بورشتين - Mott effect، وكذلك في تضييق أو انكمash المنطقه المحرمة gap narrowing. فالمستويات الطاقية للشوائب العطية تكون عبارة عن خطوط منفصلة إذا كانت كثافة الشوائب منخفضة وتقع تحت قاع منطقة التوصيل، ونتيجة للانتقال المتابع للإلكترونات من هذه المستويات الشائبية تمتليء منطقة التوصيل وتحدث إزاحة للانتقلات بين منطقتي التكافؤ والتوصيل في اتجاه الطاقات الأعلى. وعندما يزيد تركيز حوايل الشحنة عن القيمة الحرجة لوت (Mott) والتي تبلغ 10^{24} m^{-3} ، تتدخل الدوال الموجية للذرات الشائبة العطية وتغوص منطقه الشوائب في منطقة التوصيل بسبب اتساع (انبعاج) مستويات هذه الشوائب وينتقل مستوى فيرمي إلى منطقة التوصيل مؤدياً إلى انحلال الغاز الإلكتروني وتكون ذيل لمنطقة التوصيل. في نفس الوقت، يؤدى التفاعل بين الجسيمات العديدة (تأثير كولوم بين الجسيمات المشحونة، الإلكترون مع الإلكترون، الإلكترون مع الذرات الشائبة المتأينة) إلى إزاحة منطقة التوصيل إلى أسفل. وتتأثر منطقة التكافؤ بشكل عكسي، فالتفاعلات بين الفجوات والإلكترونات مع آيونات الشوائب العطية سيؤدي إلى إزاحة منطقة التكافؤ إلى أعلى.

وعموماً يتعدد اتساع المنطقه المحرمة الضوئية (optical gap) بالعاملين الآتيين:

١- إزاحة حافة الامتصاص (BM - shift) بسبب امتناء الحالات الأدنى لمنطقة التوصيل بواسطة الإلكترونات.

٢- انكمash المنطقه المحرمة بسبب تداخل الدوال الموجية لحوايل الشحنة في حالة الكثافات العالية والسمى many - body effect. هذا العامل يمكن إهماله في حالاتي المواد النقيه أو المطعومة بدرجات صغيرة، أي عندما تكون كثافة حوايل الشحنة أقل من القيمة الحرجة، وتعطي القيمة الطاقية للمنطقه المحرمة للانتقلات المباشرة بالعلاقة التالية :

$$Eg_0 = E_c^0(k_f) - E_v^0(k_f) \quad (12 - 76)$$

حيث $E_v^0(k)$ ، $E_c^0(k)$ هما الطاقتان الابتدائية والنهائية للانتقال على الترتيب، E_g هي اتساع المنطقة المحرمة لشبہ الموصل غير المطعم، 0 ترمز للحالات غير المشوّشة k_f ، k_f التجه الموجی لفیرمی والذی يعطى بالعلاقة $k_f = (3\pi^2 n_e)^{\frac{1}{3}}$ ، حيث هي n_e تركيز أو كثافة الإلكترونات.

وتعتمد قيمة الإزاحة (BM - shift) على طاقة كل من الحالات الابتدائية والنهائية، وتعطى من العلاقة الآتية:

$$\Delta E_g^{BM} = \frac{\hbar^2 k_f^2}{2} \left(\frac{1}{m_e^*} + \frac{1}{m_h^*} \right)$$

$$= \frac{\hbar^2 k_f^2}{2\mu} = \frac{\hbar^2}{2\mu} (3\pi^2 n_e)^{\frac{2}{3}} \quad (12 - 77)$$

واضح أن الإزاحة ΔE_g^{BM} تتناسب طرديا مع $n_e^{\frac{2}{3}}$.
ويعطى الفاصل الضوئي (optical band gap) من العلاقة الآتية:

$$E_g^{op} = E_{g_0} + \Delta E_g^{BM}$$

$$= E_{g_0} + \frac{\hbar^2}{2\mu} (3\pi^2 n_e)^{\frac{2}{3}} \quad (12 - 78)$$

وعندما يزيد تركيز حوامل الشحنة عن قيمته الحرجية يصبح تأثير العامل الثاني على المنطقة الطاقية ملحوظا، many - body effect حيث يتصرف بنظرية التشوش الكمية theory of perturbation ، كالتالي :

$$E_v(k, \omega) = E_v^0(k) + \hbar \Sigma_v(k, \omega)$$

$$E_c(k, \omega) = E_c^0(k) + \hbar \Sigma_c(k, \omega)$$

$\hbar \Sigma_v(k, \omega)$ ، $\hbar \Sigma_c(k, \omega)$ هي الطاقات الذاتية (self - energy terms) لمنطقتي التكافؤ والتوصيل على الترتيب نتيجة تأثير تشوش التداخل لحوامل الشحنة، والذي يؤدي إلى انكماش المنطقة المحرمة، وبالتالي يعطى اتساع الفاصل الضوئي بالعلاقة الآتية:

$$E_g^{op} = E_c(k_f, \omega) - E_v(k_f, \omega)$$

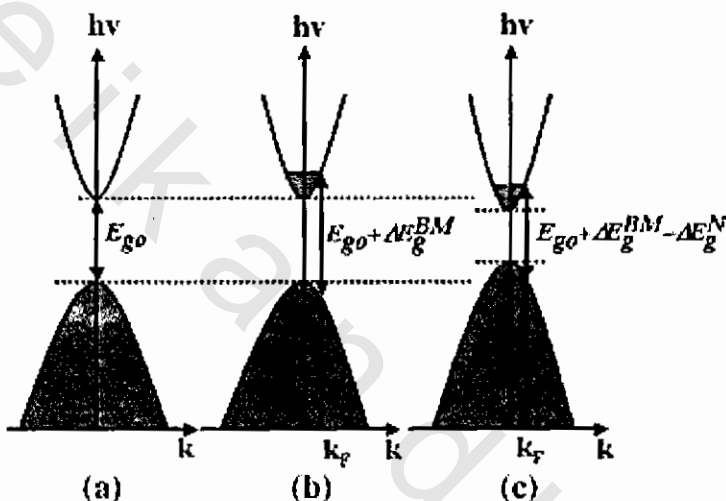
$$= E_{g_0} + \Delta E_g^{BM} - \Delta E_g^N \quad (12 - 79)$$

حيث $\Delta E_g^N = \hbar \Sigma_v(k, \omega) - \hbar \Sigma_c(k, \omega)$ هو مقدار انكمash المنطقة المحرمة.

شكل (12-18) يوضح نموذجا بسيطا للتركيب الطاقى لشبہ موصل منحل، حيث

تعبر المساحات المظللة عن الحالات المشغولة، كما أخذت قمة منطقة التكافؤ كمرجع لقياس الطاقة. نلاحظ من الشكل ما يلى:

- عندما يكون التركيب متوازن من حيث التكافؤ (stoichiometric)، تظهر منطقة محمرة مباشرة تفصل بين منطقتي التوصيل والتكافؤ اتساعها E_g (شكل 12.a)
- عندما يكون التركيب غير متوازن non-stoichiometric والكثافة الإلكترونية أقل من الكثافة الحرجة، نلاحظ أن الفاصل الطاقى الضوى قد زاد بالمقدار نتيجة لإنزاحة الطاقية للانتقال الإلكترونى فى اتجاه القيمة الطاقية الأعلى بسبب امتلاء الحالات الأدنى من قاع منطقة التوصيل (شكل 12.b).



شكل (12-18): التركيب الطاقى لشبہ موصل متوازن التكافؤ (a)، غير متوازن التكافؤ non-stoichiometric والكثافة الإلكترونية أقل من قيمتها الحرجة (b)، غير متوازن التكافؤ والكثافة الإلكترونية أكبر من الحرجة (c).

- عندما يكون التركيب غير متوازن والكثافة الإلكترونية أكبر من الكثافة الحرجة، نلاحظ حدوث ضيق أو انكماش لمنطقة الطاقية بسبب تأثير تداخل الدوال الموجية لحوامى الشحنة، والذى يؤدى إلى تعويض جزئي للاتساع الناتج عن تأثير إنزاحة بورشتين - موس (شكل 12.c).

الخصائص الضوئية المرتبطة بحومال الشحنة الحرة

حومال الشحنة الحرة وانعكاسية الوسط البلازمى

free carriers and plasma reflection

الغاز المتعادل المكون من آيونات والكترونات يسمى بلازما، لذلك تعامل المعادن وأشباه الموصلات المنحلة على أنها أوساط بلازما لأنها تحتوى على أعداد متساوية من الآيونات الموجبة الثابتة والإلكترونات الحرة. وعندما تتعامل هذه الإلكترونات مع الموجات الكهرومغناطيسية لا تتعرض لقوى رادة خلافاً لما يحدث مع الإلكترونات المربوطة في الذرة، والتي لها ترددات رنينية في المنطقة المرئية ومنطقة الأشعة فوق البنفسجية بسبب هذه القوى الرادة.

سنحاول الآن إيجاد صيغة لثابت العزل لوسط البلازمـا باستخدام نموذج درودى - لورنس، فإذا تأثر الإلكترون بمجال كهربـى متـرد (t) وأدى إلى إزاحتـه بـمقدار، فإن معادلة الحركة له تكتب بالصورة الآتـية:

$$m_0 \frac{d^2x}{dt^2} + m_0 \gamma \frac{dx}{dt} = -e\epsilon(t) \\ = -e\epsilon_0 e^{-i\omega t} \quad (12-80)$$

حيث ω - تردد الضوء، ϵ السعة الموجية. ويمثل الحد الأول في العلاقة السابقة قوة التعجيل للإلكترون، والحد الثاني - قوة تخميد الإحتكاك، بينما يمثل الطرف الأيمن قوة التوجيه القسرية بواسطة مجال الموجة الضوئية. العلاقة (12-80) هي نفسها معادلة الحركة لتذبذب الإلكترونات المربوطة في الذرة، إلا أنها تخلو من حد القوة الرادة، حيث أنـا نتعامل مع إلكترونات حـرة، وبوضع $x = e^{-i\omega t}$ في المعادلة (12-80) نحصل على ما يلى :

$$x(t) = \frac{e\epsilon(t)}{m_0(\omega^2 + i\gamma\omega)} \quad (12-81)$$

وتعطى الاستقطابية للغاز الإلكتروني بالعلاقة $P = -eN\epsilon$ ، حيث N هو عدد الإلكترونات في وحدة الحجم، كما تعطى الإزاحة الكهربـى بدلالـة ثابت العـزل، وبالعـلاقة الآتـية:

$$D = \epsilon_r \epsilon_0 \epsilon \\ = \epsilon_0 (1+\chi) \epsilon = \epsilon_0 \epsilon + P$$

$$= \epsilon_0 \epsilon - \frac{Ne^2}{m_0(\omega^2 + i\gamma\omega)} \epsilon \quad (12-82)$$

أى أن:

$$\epsilon_r(\omega) = 1 - \frac{Ne^2}{\epsilon_0 m_0} \frac{1}{(\omega^2 + i\gamma\omega)} \quad (12-83)$$

هذه العلاقة تشبه تماماً العلاقة (12-44) لتبذبب الإلكترونات المربوطة، عدا أن التردد الرئيسي بها ω يساوى صفرًا، كما أن تأثير الاستقطاب المرجعي (background) لم يؤخذ في الاعتبار. ويمكن إعادة كتابة العلاقة (12-83) في الصورة الآتية:

$$\epsilon_r(\omega) = 1 - \frac{\omega_p^2}{(\omega^2 + i\gamma\omega)} \quad (12-84)$$

حيث:

$$\omega_p = \left(\frac{Ne^2}{\epsilon_0 m_0} \right)^{\frac{1}{2}} \quad (12-85)$$

تسمى تردد البلازما (plasma frequency). فإذا كان التخميد ضعيفاً ($\gamma = 0$) فإن ثابت العزل يعطى كالتالي:

$$\epsilon_r = 1 - \left(\frac{\omega_p^2}{\omega} \right)^2 \quad (12-86)$$

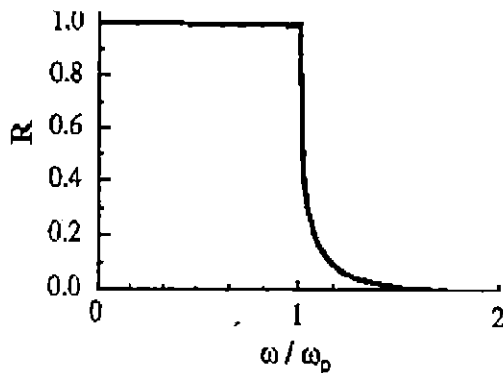
ومعامل الانكسار المركب يكون كالتالي:

$$\bar{n} = \sqrt{\epsilon_r} = \sqrt{\left(1 - \frac{\omega_p^2}{\omega^2}\right)}$$

وبالتالي تصبح \bar{n} ذات قيمة تخيلية عندما $\omega > \omega_p$ وحقيقية عندما $\omega < \omega_p$ ، ومساوية للصفر عندما $\omega = \omega_p$ ، وتعطى الانعكاسية \mathcal{R} بالعلاقة الآتية:

$$\mathcal{R} = \left| \frac{\bar{n}-1}{\bar{n}+1} \right|^2 \quad (12-87)$$

حيث $\mathcal{R} \rightarrow 1$ عندما $\omega \geq \omega_p$ ، وتقل \mathcal{R} للقيم $\omega < \omega_p$ وتقترب من الصفر عندما تقترب ω من ∞ ، وهو ما يوضحه سلوك العلاقة بين \mathcal{R} وبين $\frac{\omega}{\omega_p}$ المبين في شكل (19-12).



شكل (19-12): علاقة انعكاسية الوسط البلازمي بالتردد

الموصليات الكهربائية للإلكترونات الحرجة Free carrier conductivity

لقد أهملنا تأثير التخميد في العلاقة (12-86)، ولكن نجعل المعنى الفيزيائي للتخفيف أكثر ووضوحاً دعنا نعيد كتابة معادلة الحركة بالطريقة التالية:

$$m_0 \frac{dv}{dt} + m_0 \gamma v = -e\varepsilon \quad (12-88)$$

$$\text{i.e. } \frac{dp}{dt} = -\frac{p}{\tau} - e\varepsilon \quad (12-89)$$

حيث $P = m_0 v$ هي كمية الحركة، $\tau = \frac{1}{\gamma}$ هي زمن التخفيف damping time وهي مقلوب معامل التخفيف. وتبين العلاقة (12-89) أن المجال يعمل على تعجيل الإلكترون، بينما التخفيف يعمل على تشبيط كمية تحركه مع الزمن ليفقدها في زمن قدره τ ، ولذلك تسمى τ بزمن تبعثر كمية التحرك.

وإذا كان المجال متارداً ($\varepsilon = \varepsilon_0 e^{-i\omega t}$)، فإن كل من $v = v_0 e^{-i\omega t}$ ، $x = x_0 e^{-i\omega t}$ يكونان متاردين أيضاً. بالتعمير في العلاقة (12-88) نجد أن:

$$v(t) = \frac{-e\tau}{m_0} \left(\frac{1}{1-i\omega\tau} \right) \varepsilon(t) \quad (12-90)$$

وتعطى كثافة التيار j بالعلاقة الآتية:

$$j = -Nev = \sigma \varepsilon \quad (12-91)$$

وبضم العلاقاتتين (12-90) و(12-91) نحصل على الموصليات الكهربائية المترددة (ω) كالتالي:

$$j = \frac{Ne^2\tau}{m_0} \left(\frac{1}{1-i\omega\tau} \right) \varepsilon = \sigma \varepsilon$$

$$\therefore \sigma(\omega) = \frac{Ne^2\tau}{m_0} \left(\frac{1}{1-i\omega\tau} \right) \\ = \sigma_0 \left(\frac{1}{1-i\omega\tau} \right) \quad (12-92)$$

$$\sigma_0 = \frac{Ne^2\tau}{m_0} \quad (12-93)$$

حيث σ_0 هي الموصليات الكهربائية عندما يكون المجال الكهربائي ثابت.

معامل الامتصاص للإلكترونات الحرة

absorption coefficient of free electrons

سنحاول اشتقاد علاقة تربط بين الموصلية الكهربية للإلكترونات الحرة ومعامل الامتصاص عند ترددات صغيرة جداً بحيث $\omega \ll T^{-1}$ أي $\omega \ll 1$. لذلك سنجزئ ثابت العزل ϵ_0 المعطى بالعلاقة (4-12) إلى جزئيه الحقيقي والتخيلي مع وضع

$\gamma = T^{-1}$ ، حيث نحصل على:

$$\epsilon_1 = 1 - \frac{\omega_p^2 \tau^2}{1 + \omega^2 \tau^2} \quad (12-94)$$

$$\epsilon_2 = \frac{\omega_p^2 \tau}{\omega(1 + \omega^2 \tau^2)} \quad (12-95)$$

وبما أن $\omega \ll T^{-1}$ ، فإن $\epsilon_1 \gg \epsilon_2$. وبالتعويض عن ϵ_1 ، ϵ_2 في العلاقات (12-12) و (12-13) لتعيين معامل الانكسار n والإضمحلال K ، نجد أن:

$$n \approx K = \sqrt{\frac{\epsilon_2}{2}}$$

$$\begin{aligned} \text{i.e. } \alpha &= \frac{2\omega K}{c} = \frac{2\omega}{c} \sqrt{\frac{\epsilon_2}{2}} = \frac{2\omega}{c} \left(\frac{\omega_p^2 \tau}{2\omega} \right)^{1/2} \\ &= \left(\frac{2\omega_p^2 \tau \omega}{c^2} \right)^{1/2} \end{aligned} \quad (12-96)$$

وبالتعويض عن $\alpha = \frac{\sigma_0}{\epsilon_0} \omega_p^2 \tau$ (باستخدام العلاقات (12-85) و (12-93)) وعن $\frac{1}{\epsilon_0 \mu_0} = c^2$ (النظرية الكهرومغناطيسية) في العلاقة (12-96) نجد أن:

$$\alpha = (2\sigma_0 \omega \mu_0)^{1/2} \quad (12-97)$$

وهكذا، فإن معامل الامتصاص يتتناسب مع الجذر التربيعي لكل من الموصلية الكهربية المستمرة والتردد.

وتبيّن العلاقة (12-97) أن المجال الكهربائي المتّرد يمكنه فقط التغلغل إلى مسافة صغيرة خلال المواد الموصلة مثل المعادن وهي ظاهرة معروفة وتسمى skin effect، فإذا كان المجال يتغير بالعامل $e^{-z/\delta}$ عند مسافة z من السطح، فإن الشدة تقل بالعامل $e^{-2z/\delta}$ وبالمقارنة مع العلاقة (4) نجد أن:

$$\delta = \frac{2}{\alpha} = \left(\frac{2}{\sigma_0 \omega \mu_0} \right)^{1/2} \quad (12-98)$$

حيث تعرف δ بعمق التغلغل (skin depth). والعلاقة (12-97) لا تصلح للاستخدام في حالة الترددات العالية وذلك لأن التقريب $1 \ll \omega$ يصبح غير صحيح.

البلازمونات Plasmons

تخبرنا العلاقة (12-86) أن ثابت العزل عند التخميد الضعيف لغاز الإلكترونات الحرة يساوى الصفر عندما $\omega = 0$ ، وهذا يعني أن شيئاً غير عادي يحدث عند هذا التردد، وهذا حقيقي في الواقع.

ذكرنا آنفاً، أن نظام البلازمما (المعادن مثلاً) يتكون من آيونات موجبة ذات مواضع ثابتة في الشبكية مع غاز إلكتروني يعادل تأثير شحنة الآيونات. شكل (12-20.a)

- يبين شريحة من الآيونات والإلكترونات خلال جسم البلازما. نفرض حدوث إزاحة لغاز الإلكترونات كما في شكل (12-20.b)، فإن آيونات الشبكية تبدي قوة رادة مضادة لهذه الإزاحة. هذا يؤدي إلى إزاحة الإلكترونات إلى الجانب الآخر متتجاوزة وضع الاتزان شكل

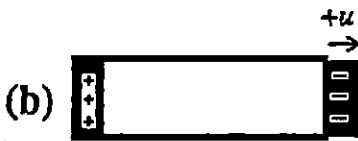
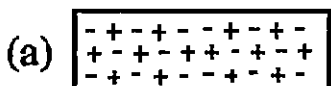
(12-20.c)، وبالتالي تحدث قوة رادة من الآيونات لإعادتها. وهكذا، يحدث تذبذب لغاز الإلكترونات حول الآيونات الموجبة. هذه الاهتزازات تسمى اهتزازات البلازمما (plasma oscillation)، والكم الطيفي لهذه الاهتزازات يسمى بلازمون (Plasmon).

إزاحة الإلكترونات $u \pm$ تتسبب في تكوين شحنات على سطحي الشريحة، نفرض أن قيمتها لوحدة المساحات تساوى $-Neu$ ، حيث N عدد الإلكترونات في وحدة الحجم للمعدن. وتقوم الآيونات unbalanced ions بتكوين شحنات متساوية موجبة عند الطرف الآخر للشريحة. ومن قانون جاوس أن شدة المجال E تعطى بالعلاقة

$E = \frac{Q}{\epsilon_0} = \frac{Neu}{\epsilon_0}$. يقوم هذا المجال الكهربائي بمعارضة الإزاحة ل الإلكترونات، وتكتب معادلة الحركة لوحدة الحجم لغاز الإلكترونات في هذه الحالة بالعلاقة الآتية:

$$Nm_0 \frac{d^2u}{dt^2} = -Ne\epsilon = -\left(\frac{N^2e^2}{\epsilon_0}\right) u$$

$$\text{i.e. } \frac{d^2u}{dt^2} + \left(\frac{Ne^2}{\epsilon_0 m_0}\right) u = 0 \quad (12 - 99)$$



شكل (20-12): شريحة للوسط البلازمى (a)، تنبذ الغاز الإلكترونى حول الآيونات الموجية (b، c).

وهي معادلة حركة توافقية بسيطة لها تردد زاوى ω يعطى من العلاقة الآتية:

$$\omega = \left(\frac{Ne^2}{\epsilon_0 m_0} \right)^{1/2} = \omega_p \quad (12-100)$$

أى أن التردد الزاوى لهذه الحركة الاهتزازية بواسطة الغاز الإلكترونى يساوى ω_p تردد البلازماء. هذا يعنى أن البلازماء لها تردد رنين طبيعى يساوى. وتكون الإستقطابية P (عزم ثانوى القطب لوحدة الحجم) الناتجة تساوى $N\epsilon_0 u$ وتعمل فى أتجاه مضاد للمجال، وتكون الإزاحة الكهربائية $P = \epsilon_0 D = \epsilon_0 u$ مساوية للصفر، وهذا يعنى أن ثابت العزل يساوى الصفر أيضاً. أى أن اهتزاز البلازماء يحدث تحت شرط $\epsilon_0 = \epsilon_r$. ويمكن ملاحظة هذه الاهتزازات البلازمونية فى المعادن بواسطة طيف الفقد الطاقى E_{in} electrons energy loss spectroscopy، حيث يسلط شعاع إلكترونى بطاقة E_{in} تساوى تقريباً 2 keV على غشاء رقيق thin film من المعادن. الإلكترون أثناه، مروره خلال المعادن يمكنه إثارة البلازمونات ويعطى طاقة الإلكترونات النافذة E_{out} خلال المعادن من العلاقة الآتية:

$$E_{out} = E_{in} - n\hbar\omega_p$$

حيث n - عدد البلازمونات المثاره. وبقياس طاقة الإلكترونات النافذة يمكن إيجاد تردد البلازماء ω_p .

كما يمكن ملاحظة البلازمونات مباشرة فى حالة أشباه الموصلات المنحلة باستخدام طيف رaman Raman spectroscopy، حيث تتغير طاقة الفوتون الساقط بعد خروجه

بسبب عملية التشتت غير المرن مع البلازمن، حيث يعطى قانون حفظ الطاقة بالصورة الآتية:

$$\hbar\omega_{\text{out}} = \hbar\omega_{\text{in}} \pm \hbar\omega_p \quad (12-101)$$

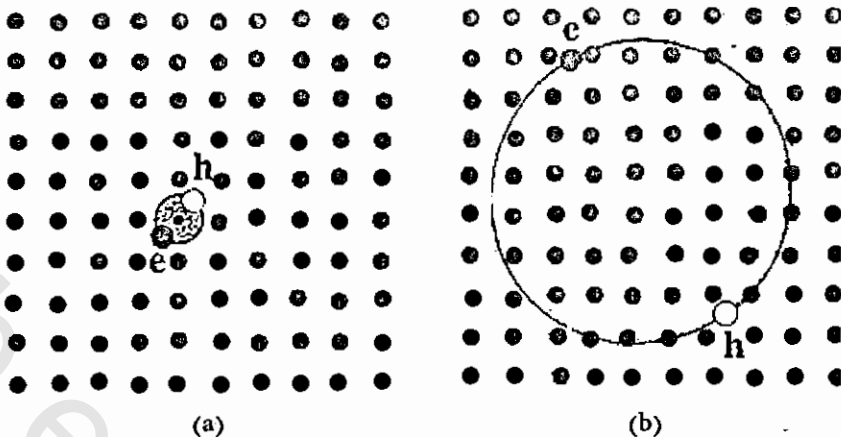
حيث ω_{out} طاقة الفوتون الخارج، ω_{in} طاقة الفوتون الساقط، $\pm \omega_p$ طاقة البلازمن المتض (+) أو المتبعد (-).

الامتصاص الضوئي وتكون الإكسيتونات Excitons

امتصاص فوتون وحدوث انتقال بين المناطق في شبه الموصل أو العازل يؤدي إلى ظهور إلكترون في منطقة التوصيل وفجوة في منطقة التكافؤ. هذان الجسيمان مختلفاً الشحنة ينشأان عند نفس النقطة في الفراغ البلوري ويمكنهما التجاذب فيما بينهما بقوة كولوم، مما يزيد من احتمال تكوين الزوج (إلكترون - فجوة)، وبالتالي يزيد معدل الانتقال الضوئي (Optical transition). هذا الزوج المربوط المتعادل يسمى إكسيتون (Exciton). والإكسيتونات يمكن ملاحظتها في العديد من المواد البلورية وتتوارد على نوعين هما :

- إكسيتونات فرنكل (Frenkel excitons)، وهي إكسيتونات عالية الترابط tightly bound excitons) ولاحظ عادة في بلورات المواد العازلة والجزيئية. ولها نصف قطر ترابط صغير يقارب أبعاد الخلية الأحادية، وهذا يجعلها ضمن الحالات الموضعية (Localized states) - شكل (12-21.a).
- إكسيتونات ونر - موت (winner - mott excitons) وتعرف بالإكسيتونات الحرة Free excitons، ولاحظ عادة في أشباه الموصلات. نصف قطر الترابط لها كبير ويشمل العديد من الذرات (شكل 12-21.b)، وبالتالي فهي تتبع الحالات غير الموضعية delocalized states، وتتحرك في البلورة عن طريق القفز (hopping). ويكون الإكسيتون مستقراً فقط إذا كانت طاقة التجاذب كافية لحمايته ضد التصادم بالفونونات، أي عندما تكون الطاقة عند درجة حرارة T أكبر من طاقة الفونون

$k_B T$ المثار حراريا.



شكل (12-21): نوعاً لإكسيلونات الربوط (a) والحر (b).

الامتصاص للطاقات الأعلى من الحافة الأساسية

معامل الامتصاص α يتتناسب مع كثافة الحالات $(\hbar\omega)g$ كما تخبرنا قاعدة فيرمي fermi's golden rule، وباعتبار حقيقة أن الحالات الإلكترونية الابتدائية والنهائية تقع خلال مناطق متصلة، فإن كثافة الحالات في وحدة المدى الطاقي تعطى كما يلي:

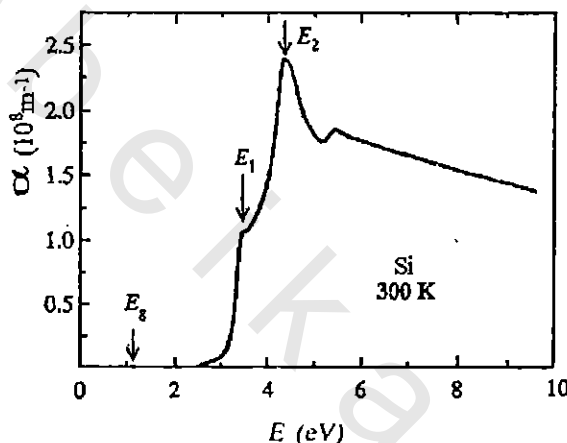
$$g(E) dE = 2 g(k) dk \quad (12-102)$$

حيث $g(k)$ – كثافة الحالات في فراغ المتجه الوجي، وضررنا في العدد 2 بسبب وجود إلكترونيين في الحالة طبقاً لمبدأ باولى.

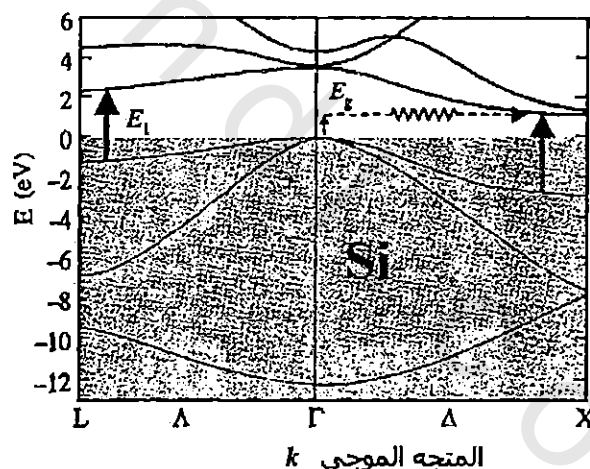
$$\text{i.e} \quad g(E) = \frac{2g(k)}{dE/dk} \quad (12-103)$$

العلاقة الأخيرة تبين أن كثافة الحالات تتتناسب عكسيًا مع التدرج $\frac{dE}{dk}$ (gradient)، ولنحنى العلاقة $(E-k)$ ، وبالتالي فإن القوة الامتصاصية تتتناسب مع $\frac{dE}{dk}$ عكسيًا، فإذا عرف التركيب الطاقي للمادة يمكن تحديد الاحتمالات الأقوى للانتقال عبر المناطق.

شكل (12-22) يبيّن طيف الامتصاص لعنصر السيليكون عند درجة حرارة الغرفة، حيث يتضح وجود قمتين لامتصاص E_1 ، E_2 عند 4.3 eV ، 3.5 eV على الترتيب فوق حافة الامتصاص الأساسية $E_g = 1.1 \text{ eV}$. هذه الخصائص موضحة على التركيب الطاقي في شكل (12-23)، حيث نلاحظ أن منطقى التكافؤ والتوصيل عند هذين الانتقالين $\frac{dE}{dk}$ متوازيتين تقريباً، وأن $0 \approx \frac{dE}{dk}$ وبالتالي تكون كثافة الحالات عالية جداً، لذا تتوقع أن يكون الامتصاص عالياً جداً.



شكل (12-22): طيف امتصاص السيليكون عند درجة حرارة الغرفة.



شكل (12-23): الترکیب النطاقی للسیلیکون.

حافة الامتصاص في الواد الأمورفية غير المعدنية

تتميز المواد الأمورفية غير المعدنية بحافة امتصاص ضوئي أقل حدة ولكنها أكثر وضوحاً بالمقارنة بالمواد البللورية. وتساعد قياسات حافة الامتصاص في تنمية فهم

نظريّة التركيب الإلكتروني لهذه المواد والتى وضع أساسها العالمان ديفيس وموت Davis & Mott وأخرون. ولقد قسم العالم توك (Tauc) حافة الامتصاص في الجوماد الألوموريّة إلى ثلاثة مناطق كما في شكل (24-12) كالتالي:

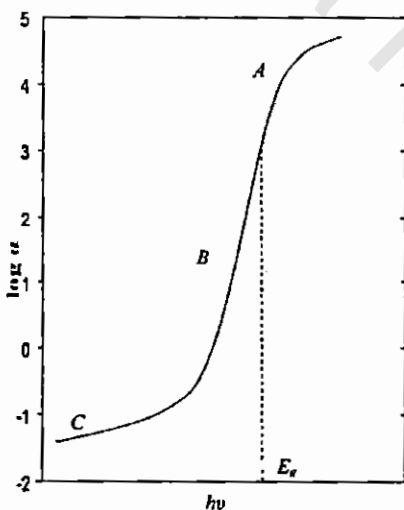
المنطقة (A): وهي منطقة الامتصاص العالى، حيث يكون معامل الامتصاص α كبيرا $(\alpha > 10^6 \text{ m}^{-1})$ ، وتتصف بالعلاقة الآتية:

$$\alpha \hbar \omega = \beta (\hbar \omega - E_{\text{opt}})^n \quad (12 - 104)$$

- ثابت، E_{opt} - الفاصل الطاقي الضوئي، n - تأخذ إحدى القيم بين 1 & 2
بالاعتماد على شكل دالة كثافة الحالات غير الموضعية (non-localized) ونوع الانتقال.
المنطقة (B): منطقة الامتصاص الوسطى (وتعُرف بمنطقة أورباخ Urbach) حيث:

$$\alpha(\omega) \sim e^{(\hbar\omega/E_1)} \quad (12 - 105)$$

الطاقة E_1 تميز انحدار الذيل الأسوي (exponential tail) لمنحنى كثافة الحالات وتحدد الحالات الموضعية، ولقد بين أورباخ أن E_1 تقيس اتساع ذيل الحالات الموضعية في المنطقة المحرمة.

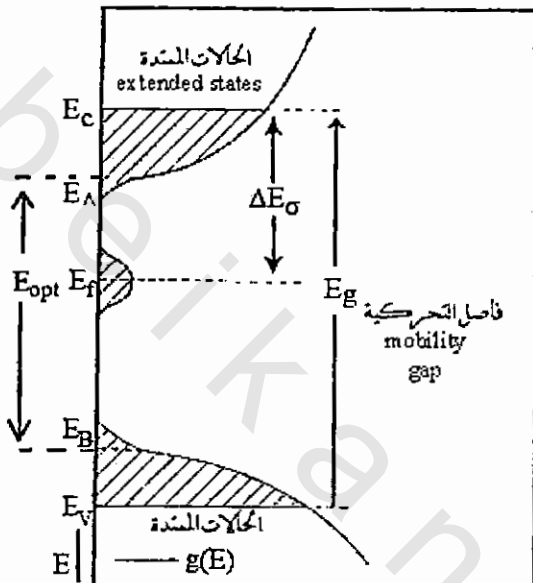


شكل (24-12): حافة الامتصاص في المواد الألوموريّة الصلبة.

المنطقة (C): خاصّة بالامتصاص الأقل حيث $\alpha < 10^2 \text{ m}^{-1}$ والتي تتتصف بعلاقة مماثلة للعلاقة (12-105) ولكن لها طاقة E_2 أكبر من E_1 .

$$\text{i.e } \alpha(\omega) \sim e^{(\hbar\omega/E_2)} \quad (12 - 106)$$

ولقد نسب العالم توك (Tauc) هذا الذيل ذا الطاقة المنخفضة إلى خصائص المادة ذاتها (intrinsic features). شكل (١٢-٢٥) يعطى كثافة الحالات ($g(E)$) للمواد الأمورية الصلبة كدالة في الطاقة طبقاً للنموذج المقترن بواسطة العالمين موت وديفيس Mott & Davis



شكل (١٢-٢٥): تغير كثافة الحالات في المواد الأمورية الصلبة مع الطاقة.

المناطق المظللة تمثل الحالات الموضعية، والتي يحدد سمكها بالقيم ($E_c - E_A$)، ($E_A - E_f$) بالقرب من حافتي التحركية mobility edges اللتين تفصلان بين الحالات الموضعية والحالات المتمدة extended states. سمك الحالات الموضعية يعتمد على درجة التشوه في المادة material disorder. وكما هو معروف أن الروابط غير المشبعة unsaturated bonds هي المسئولة عن تكوين العيوب في المواد الأمورية والتي بدورها مسئولة عن تكون الحالات الموضعية في التركيب.

تمارين عامة

- ١- أ- عرف كل من طاقة التأين E_i ، وطاقة الميل الإلكتروني (electron affinity) E_{af} للذرة وبين علاقتهما بالسالبية الكهربائية لعنصر Y .
ب- وإذا كان بللورة NaCl :

$$E_i(\text{Na}) = 5.14 \text{ ev} , \quad E_{af}(\text{Cl}) = 3.71 \text{ ev}$$

وأن طاقة الجذب الإلكترونيستاتيكي بين آيوني الصوديوم والكلور تساوى 4.51 ev ، فبين أنه يمكن للصوديوم والكلور تكوين جزء ثنائي الذرة برابطة آيونية قوية.

الحل:

- أ - طاقة التأين E_i : هي الطاقة المطلوبة لتحرير إلكترون من الذرة المتعادلة. التشوهية الإلكترونية E_{af} : هي مقدار الطاقة المكتسبة عند إضافة إلكترون لذرة متعادلة. وترتبط E_i ، E_{af} بالسالبية الكهربائية لعنصر بعلاقة تسمى علاقة ميليكان الآتية:
- $$\text{Y} = 0.148(E_i + E_{af})$$

ويعبر عن هذه الطاقات بالإلكترون فولت. واضح أن Y تكون كبيرة للذرة التي لها E_{af} كبيرتان. وتتحدد آيونية الرابطة بين ذرتين بالفرق بين سالبيتيهما. أي أن آيونية الرابطة تساوى $\text{Y}_2 - \text{Y}_1$. وهذا يعني أن الفرق بين سالبيتي الذرتين يعتبر مقياساً آيونية الرابطة بينهما.

- ب - تتكون الرابطة في بللورة NaCl بخلع إلكترون ذرة الصوديوم وإضافته إلى ذرة الكلور، حيث يتحولا إلى آيونين مختلفي الشحنة، وعن طريق قوة الجذب الكهروستاتيكي بينهما يتم الترابط الآيوني. والفرق بين طاقة تأين الصوديوم المطلوب بذلها وطاقة التشوهية الإلكترونية التي تكتسب عند إضافة هذا الإلكترون إلى ذرة الكلور يساوى أقل طاقة مطلوب تزويدها لتكون الرابطة، وهي:

$$E_i - E_{af} = 5.14 - 3.71 = 1.43 \text{ ev}$$

هذا الفارق يتم تعويضه بواسطة مجال الجذب الكهروستاتيكي، حيث يشارك بطاقة تساوى 4.5 عندما تكون المسافة بين الآيونين أقل ما يمكن، هذه المشاركة من المجال الكهروستاتيكي تزيد عن الطاقة المطلوبة بمقدار $3.08 \text{ ev} = 5.14 - 1.34$. أي أنه يمكن للصوديوم والكلور تكوين جزء ثنائي الذرة برابطة آيونية قوية.

- أـ إذا كان $\hat{x} + k_2\hat{y} + \ell_2\hat{z}$ & $A = h_1\hat{x} + k_1\hat{y} + \ell_1\hat{z}$ حيث $B = h_2\hat{x} + k_2\hat{y} + \ell_2\hat{z}$ هي وحدات متوجه لثلاثة متوجه لا تقع كلها في مستوى واحد. اثبّت أن الزاوية θ بين المتجهين A ، B يمكن إيجادها من خلال العلاقة الآتية:

$$\cos \theta = \frac{h_1 h_2 + k_1 k_2 + \ell_1 \ell_2}{\sqrt{h_1^2 + k_1^2 + \ell_1^2} \sqrt{h_2^2 + k_2^2 + \ell_2^2}}$$

بـ-أوجـدـ الزـواـيـاـ بـيـنـ المـتـجـهـاتـ الـأسـاسـيـةـ لـلـخـلـيـةـ الـابـتـدـائـيـةـ لـكـلـ مـنـ الشـبـكـيـاتـ .B.C.C & F.C.C

جـ-إذا كانتـ الزـواـيـاـ بـيـنـ روـابـطـ التـرـكـيبـ الـرـبـاعـىـ لـلـمـاسـ هـىـ نفسـ الزـواـيـاـ بـيـنـ أـقـطـارـ الشـكـلـ الـمـكـعـبـ ، فـأـوجـدـ باـسـتـخـدـامـ المـتـجـهـاتـ قـيمـ هـذـهـ الزـواـيـاـ.

الحل : (أ)

$$A \cdot B = h_1 h_2 + k_1 k_2 + \ell_1 \ell_2$$

$$\therefore |A||B| = \sqrt{h_1^2 + k_1^2 + \ell_1^2} \sqrt{h_2^2 + k_2^2 + \ell_2^2}$$

$$\therefore \cos \theta = \frac{A \cdot B}{|A||B|} = \frac{h_1 h_2 + k_1 k_2 + \ell_1 \ell_2}{\sqrt{h_1^2 + k_1^2 + \ell_1^2} \sqrt{h_2^2 + k_2^2 + \ell_2^2}}$$

(ب) في حالة الشبكة F.C.C يكون:

$$\mathbf{a}_1 = \frac{a}{2}(\hat{y} + \hat{z}), \quad \mathbf{a}_2 = \frac{a}{2}(\hat{x} + \hat{z}) \quad \& \quad \mathbf{a}_3 = \frac{a}{2}(\hat{x} + \hat{y})$$

وتعطى الزاوية بين المتجهين a_1 & a_2 كـالـآـتـىـ :

$$\begin{aligned} \cos \theta &= \frac{h_1 h_2 + k_1 k_2 + \ell_1 \ell_2}{\sqrt{h_1^2 + k_1^2 + \ell_1^2} \sqrt{h_2^2 + k_2^2 + \ell_2^2}} \\ &= \frac{\left(\frac{a}{2}\right)^2}{2\left(\frac{a}{2}\right)^2} \\ &= \frac{1}{2} \\ \therefore \theta &= 60^\circ \end{aligned}$$

وبالمثل لباقي المتجهات.

(ج) يعطى متجها قطرى المكعب \overrightarrow{GB} . \overrightarrow{EC} (شكل I) حيث:

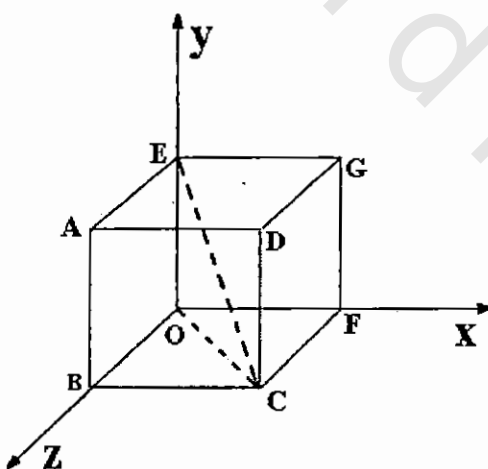
$$\begin{aligned}\overrightarrow{EC} &= \overrightarrow{EO} + \overrightarrow{OC} \\ &= \overrightarrow{EO} + \overrightarrow{OB} + \overrightarrow{BC} \\ &= -a\hat{y} + a\hat{z} + a\hat{x} \\ &= a(\hat{x} - \hat{y} + \hat{z}) .\end{aligned}$$

$$\begin{aligned}\overrightarrow{GB} &= \overrightarrow{GF} + \overrightarrow{FB} \\ &= \overrightarrow{GF} + \overrightarrow{FC} + \overrightarrow{CB} \\ &= -a\hat{y} + a\hat{z} - a\hat{x} \\ &= a(-\hat{x} - \hat{y} + \hat{z})\end{aligned}$$

$$\therefore h_1 = a, k_1 = -a, \ell_1 = a$$

$$\& h_2 = -a, k_2 = -a, \ell_2 = a$$

$$\therefore \cos \theta = \frac{a^2}{3a^2} = \frac{1}{3}$$



شكل (I)

- ٣- ناقش الخاصية الآيونية للرابطة ionicity of a bond للألكالى هاليدات alkali halides مستعينا بقيم السالبية الكهربائية لبعض العناصر المعطاة بالجدول الآتى:

قيم السالبية الكهربائية لبعض العناصر

H 2.1						
Li 1.0	Be 1.5	B 2.0	C 2.5	N 3.0	O 3.5	F 4.0
Na 0.9	Mg 1.2	Al 1.5	Si 1.8	P 2.1	S 2.5	Cl 3.0
K 0.8	Ca 1.0	Sc 1.3	Ge 1.8	As 2.0	Se 2.4	Br 2.8
Rb 0.8	Sr 1.0	Y 1.3	Sn 1.8	Sb 1.9	Te 2.1	I 2.1

٤- إذا كانت متجهات الخلية الأولية للشبكة الفراغية السادسية تعطى كالتالي:

$$\mathbf{a} = \left[\left(\frac{\sqrt{3}}{2} a \right) \hat{x} + \frac{a}{2} \hat{y} \right], \quad \mathbf{b} = \left[\left(-\frac{\sqrt{3}}{2} a \right) \hat{x} + \frac{a}{2} \hat{y} \right] \& c = c \hat{z}$$

(أ)- أوجد الزوايا بين هذه المتجهات.

(ب)- اثبت أن حجم الخلية الأولية يساوي $\frac{\sqrt{3}}{2} a^2 c$.

(ج)- اثبت أن متجهات الخلية الأولية للشبكة العكosa هي:

$$\mathbf{A} = \frac{2\pi}{\sqrt{3}a} \hat{x} + \frac{2\pi}{a} \hat{y}, \quad \mathbf{B} = -\frac{2\pi}{\sqrt{3}a} \hat{x} + \frac{2\pi}{a} \hat{y} \quad \& \quad \mathbf{C} = \frac{2\pi}{c} \hat{z}$$

(د)- أوجد حدود منطقة بربيليون الأولى للشبكة الفراغية.

الحل

(د): حدود منطقة بربيليون الأولى للشبكة الفراغية السادسية هي المستويات العمودية المنصفة لمتجهات الخلية الأولية للشبكة العكosa، أي تكون كالتالي:

$$\begin{aligned} \pm \frac{1}{2} \mathbf{A} &= \pm \left(\frac{\pi}{\sqrt{3}a} \hat{x} + \frac{\pi}{a} \hat{y} \right) \\ , \quad \pm \frac{1}{2} \mathbf{B} &= \pm \left(-\frac{\pi}{\sqrt{3}a} \hat{x} + \frac{\pi}{a} \hat{y} \right) \\ \& \quad \pm \frac{1}{2} \mathbf{C} = \pm \frac{\pi}{c} \hat{z} \end{aligned}$$

٥- أ- اثبت أن متجه الشبكية المعكورة $K = h\mathbf{b}_1 + k\mathbf{b}_2 + \ell\mathbf{b}_3$ عمودي على المستوى $(hk\ell)$.

ب- اثبت أن المسافة بين المستويين المتوازيين المجاورين في الشبكية البلورية هي $d(hk\ell) = \frac{2\pi}{|k|}$.

ج- اثبت أنه للشبكية المكعبية البسيطة يكون $d^2 = a^2(h^2 + k^2 + \ell^2)^{-1}$.

٦- باعتبار أن حجم منطقة بريليون الأولى V_B يساوى حجم الخلية الأولية في فراغ فوريير (الفراغ المعكوس)، اثبت أن $V_B = (2\pi)^3 / V_C$ ، حيث V_C هو حجم الخلية الأولية للبلورة.

٧- أوجد النسبة المئالية $\frac{c}{a}$ للشبكية السداسية ذات التركيب المكثف، وقارنها مع قيمها للعناصر التالية :

He (1.633), Mg (1.623), Ti (1.586) & Zn (1.861)

ما تفسيرك للانحراف عن القيمة المئالية.

الحل :

النسبة $\frac{c}{a}$ المئالية للتركيب السداسي ذى الرص المكثف يمكن حسابها باستخدام كرات صلبة مرسومة في شبكية سداسية (شكل II)، فإذا كان نصف قطر الكرة r ، فإن البارامتر a ($= b$) والبارامتر c يمكن كتابتها بدلالة r كما يلى :

$$a = 2r$$

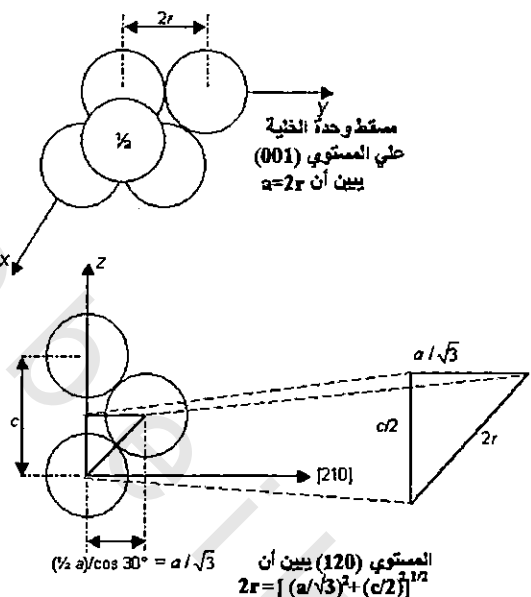
$$= \left[\left(\frac{a}{\sqrt{3}} \right)^2 + \left(\frac{c}{2} \right)^2 \right]^{\frac{1}{2}}$$

$$= \left[\frac{a^2}{3} + \frac{c^2}{4} \right]^{\frac{1}{2}}$$

$$\therefore a^2 = \frac{a^2}{3} + \frac{c^2}{4}$$

$$\therefore \frac{c}{a} = 1.633$$

والنسبة $\frac{c}{a}$ نادراً ما تكون مئالية، وذلك بسبب تصرف المواد من حيث الانزلاق على الأقل.



شكل (II)

- ٨ اثبّت أن موكسة الشبكة الموكسة هي الشبكة البللورية الأصلية.
 -٩ إذا كان الطول الموجي لأشعة إكس المستخدمة لفحص بلورة الألومنيوم يساوى 1.537 أنجشتروم، وكانت الأشعة الحائدة ناتجة عن المستوى (111) عند زاوية 19.2°، فإذا علمنا أن التركيب البللوري للألومنيوم هو من النوع B.C.C وكتافته 2699 kbm⁻³ والوزن الذري له 26.98، أوجد عدد أفوجادرو.

- ١٠ يزداد سمك طبقة الأكسيد المتكونة على سطح معدن ما مع الزمن، فإذا كان تركيز الأكسجين C عند الحد الفاصل بين الأكسيد والهوا، أكبر من قيمته C_0 عند الحد الفاصل بين الأكسيد والمعدن. فإذا افترضنا أن سرعة زيادة سمك الأكسيد x تتحدد بسرعة انتشار الأكسجين في هذه الطبقة، اثبّت أن سمك الأكسيد يعتمد على الزمن t بالصورة التالية:

$$x = Bt^{\frac{1}{2}}$$

حيث B مقدار ثابت.

- ١١ بين أن تداخل المناطق الطاقية يمكن حدوثه في الشبكة حتى في بعدين، حق ذلك برسم علاقة التشتت للإلكترونات.
 -١٢ اشرح لماذا وكيف يتغير اتساع المنطقة المحرمة (للماس والسيليكون مثلاً) مع ارتفاع درجة الحرارة.

١٣ - يتبللور السيليكون على شكل التركيب الماسى بثابت بلورى يساوى 5.43 أنجشتروم.

(أ) كم ذرة تحتويها الخلية الابتدائية؟

(ب) احسب طاقة تأين ذرة الفسفور فى بلورة السيليكون المطعم بالفسفور إذا كان ثابت العزل للسيليكون.

١٤ - احسب طاقة التأين للذرات المعطية في المركب $InSb$ إذا كان $0.01 = \frac{m^*}{m_0} = \frac{4}{5}$.

١٥ - أكتب معادلة الحركة لسلسلة خطية مكونة من عدد كبير N من الذرات في بعد واحد، علما بأن كتلة الذرة هي m ، المسافة الذرية هي a . أوجد علاقة التشتت $\omega(k)$ ثم:

(أ) قارن علاقة التشتت الناتجة مع علاقة التشتت في حالة السلسلة الخطية ثنائية الذرة.

(ب) بين أن كمية الحركة الكلية للفونون $0 = \sum_{r=1}^N m\ddot{u}_r(t)$.

(ج) قارن السرعة الموجية الناتجة مع سرعة الموجات الصوتية في قضيب طويل وأوجد معامل المرونة الفعال.

١٦ - أوجد قيمة التردد الأقصى للفونونات في بلورة محدودة وبين أنه يعتمد على نوع مادة البلورة.

١٧ - أوجد ورسم سرعتي الطور والمجموعة للفونونات لسلسلة خطية ثنائية الذرة إذا كانت نسبة كتلتي الذرتين ١:٥، احسب نسبة مشاركة الفونونات الضوئية في الموصولة الحرارية.

١٨ - احسب الطاقة الحرارية والسعنة الذرية لكل من:

(أ) نظام مكون من متذبذبين هارمونيين اثنين.

(ب) نظام مكون من مستويين طاقفين، هل لذلك معنى فيزيائى؟

١٩ - تبين أن العديد من المواد البارامغناطيسية لا تطيع قانون كوري.

(أ) اشرح سبب ذلك وأوجد صيغة لاعتماد القابلية المغناطيسية لهذه المواد على درجة الحرارة.

(ب) إذا كان ثابت كوري يساوى 1.85 لكل وزن جزئى جرامى لمادة ما فما وجد العزم المغناطيسى الفعال لهذه المادة، عدد الإلكترونات غير التزاوجية / ذرة إذا كان العزم ناتجا عن الحركة المغزيلية فقط.

الحل:

(أ) يعتمد قانون كوري على نظرية لانجفين للبارامغناطيسية التي تفترض أن حاملات العزم المغناطيسي (الجزئيات أو الذرات) لا تتفاعل فيما بينها وتنتأثر فقط بالمجال المطبق ودرجة الحرارة، حيث تتناسب القابلية المغناطيسية لهذه المواد عكسياً مع درجة الحرارة.

$$i.e \quad \chi = \frac{M}{H} = \frac{C}{T}$$

وهو ما يعرف بقانون كوري. إلا أن العديد من المواد البارامغناطيسية لا تطبع قانون كوري، حيث أرجع العالم وايس ذلك إلى تفاعل العزوم فيما بينها، وأن هذا التفاعل يعبر عنه من خلال ما يسمى بالمجال الجزيئي H_M ، وأن شدة هذا المجال تتناسب مع التمغنطية التشيعية η ، حيث:

$$H_M = \eta J_s = \eta M$$

تسمى η الثابت الجزيئي.

لذلك يكون المجال الكلي المؤثر H_t على المادة هو:

$$H_t = H + H_M = H + \eta M$$

وبإحلال المجال الكلي بدلاً من المجال المطبق في قانون كوري نجد أن:

$$\chi = \frac{M}{H + \lambda M} = \frac{C}{T}$$

$$\therefore MT = C(H + \eta M)$$

$$i.e \quad \chi = \frac{M}{H} = \frac{C}{T - C\eta}$$

$$= \frac{C}{T - \theta}$$

وتسمى هذه العلاقة العامة بقانون كوري - وايس. θ - لها أبعاد درجة الحرارة وتناسب مع ثابت المجال الجزيئي η ، لذلك تعتبر مقياساً لشدة التفاعل بين الجزيئات. وبالتالي تكون $0 = \theta = \eta$ للمواد التي تطبع قانون كوري.

(ب) تعطى القابلية المغناطيسية من النظرية الكمية للبارامغناطيسية بالعلاقة (11-60) الآتية:

بوحدات بوهر ماجنتون.

حيث N عدد الذرات في وحدة الحجوم، $\mu_{\text{eff}} = g\sqrt{J(J+1)}$ وتعطى χ للجزيئي الجرامي (للمول) كالتالي:

$$\chi = \frac{N_A}{3k_B T} \mu_{\text{eff}}^2 = \frac{C}{T}$$

حيث N_A عدد أفراد جدارو، $1 \mu_0$ في النظام المطلق cgs.

$$\therefore \mu_{\text{eff}} = \left(\frac{3k_B C}{N_A} \right)^{\frac{1}{2}}$$

$$= \left(\frac{3 \times 1.38 \times 10^{-16} \times 1.85}{6.02 \times 10^{23}} \right)^{\frac{1}{2}}$$

$$= 3.57 \times 10^{-20} \text{ erg/oe}$$

$$= \frac{3.57 \times 10^{-20}}{0.927 \times 10^{-20}} = 3.85 \mu_B$$

إذا كان التمagnet مغزليا خالصا، فإن:

$$\mu_{\text{eff}} = 2\sqrt{J(J+1)} = 2\sqrt{S(S+1)} = 3.85$$

$$\therefore S(S+1) = 3.7$$

$$\therefore S = 1.485 \approx \frac{3}{2} = n \left(\frac{1}{2} \right)$$

$$\therefore n = 3 \text{ electrons}$$

٢٠- اثبت أن القابلية المغناطيسية للمواد الديامغناطيسية لا تعتمد على أي من درجة الحرارة أو شدة المجال المغناطيسي.

٢١- إذا كان عدد الذرات في وحدة الحجوم من مادة دiamغناطيسية يساوى $5 \times 10^{28} m^{-3}$ والمسافة المتوسطة للإلكترونات من النواة تساوى $10^{-10} m$ ، فاثبت أن القابلية المغناطيسية χ تعطى من العلاقة الآتية:

$$\chi = 10^{-6} Z$$

حيث Z هي عدد الإلكترونات في الذرة.

٢٢- أوجد العزم المغناطيسي لوحدة الحجوم من النحاس إذا كانت شدة المجال المغناطيسي داخله تساوى $10^4 Am^{-1}$ إذا علمت أن القابلية المغناطيسية للنحاس تساوى 0.9×10^{-5} .

٢٣- بين أن تردد لارمور الزاوي للإلكترون لا يعتمد على سرعته أو نصف قطر مداره، وأوجد قيمته في مجال كثافة الفيصل له تساوى $T = 0.05$.

٢٤- أ- احسب القابلية البارامغناطيسية لذرة الهيدروجين.

ب- احسب القابلية البارامغناطيسية لوحدة الحجوم من السيرزيوم عند درجة حرارة 300 K علماً بأن طاقة فيرمي للسيرزيوم هي 1.55 ev .

٢٥- احسب الإنتروليا لعدد N عزم مغزلي في مجال مغناطيسي مستخدماً أساسيات الديناميكا الحرارية الإحصائية. صف عملية التمغنط الأدبياتيكي وكيف تستخدم لتبريد ملح بارامغناطيسى؟ كم مقدار الحرارة التي يمكن طرحها من الشبكية في عملية التمغنط الأدبياتيكي؟

٢٦- عند دراسة تغير معامل الانكسار n لبعض المواد مع التردد، نلاحظ أحياناً هبوط قيمة n إلى أقل من الواحد الصحيح عند بعض الترددات مما يدل على أن سرعة الموجة تكون أكبر من سرعة الضوء، فسر ذلك مؤكداً عدم التعارض مع النظرية النسبية مع إثبات أن:

$$v_g = v \left(1 - \frac{k \frac{dn}{dk}}{n} \right)$$

حيث v ، v_g هما السرعة الطورية وسرعة المجموعة على الترتيب، k هي المتجه الموجي.

الحل:

هبوط قيمة $\frac{c}{v} = n$ إلى أقل من الوحدة يعني أن سرعة الطور للموجة أكبر من السرعة للضوء في الفراغ، مما يعني تعارضًا مع النظرية النسبية. وفي الواقع، تنتقل الموجة على هيئة حزمة وتنشر بسرعة تسمى سرعة المجموعة، حيث:

$$\begin{aligned} v_g &= \frac{d\omega}{dk} = \frac{nc - ck \frac{dn}{dk}}{n^2} = \frac{c}{n} \left(1 - \frac{k \frac{dn}{dk}}{n} \right) \\ &= v \left(1 - \frac{k \frac{dn}{dk}}{n} \right) \end{aligned}$$

$$\therefore v_g = v = \frac{c}{n} = \frac{\omega}{k}$$

ولقد وجد أن موجبة لمعظم المواد، حيث يزداد معامل الانكسار مع التردد ويقال إن هذه المواد تمتلك تشتتاً عادياً normal dispersion، أما إذا كان معامل الانكسار يقل مع التردد فيقال حينئذ أن المادة تمتلك تشتتاً شاذًا anomalous dispersion. إذن

للمعلم المواد تكون $\frac{dn}{dk}$ موجبة، وهذا يعني أن $v_g < v$. فإذا كنا نحاول نقل إشارة ضوئية في منطقة $c > v$ التردودات الطيفية حيث يكون، فإننا دائمًا نجد أن $c < v_g$.

- ٢٧ - في حالة متذبذب لورنس البسيط ($X = 0$) عندما لا يوجد تخميد ($\gamma = 0$) يعطى ثابت العزل بالعلاقة الآتية:

$$\epsilon_r = 1 + \frac{Ne^2}{\epsilon_0 m_0} \frac{1}{(\omega_0^2 - \omega^2)}$$

اثبت أن سرعة المجموعة v_g دائمًا أقل من سرعة الضوء c في الفراغ.

- ٢٨ - إذا كان معامل الانكسار للجرمانيوم عند 400 nm هو: $\bar{n} = 4.141 + i(2.215)$ احسب عند هذا الطول الموجي كلاً من:

أ- سرعة الطور للضوء بـ- معامل الامتصاص α - الانعكاسية.

- ٢٩ - إذا كان ثابت العزل المركب للح كلوريد الصوديوم الذي يبدي امتصاصاً شديداً للضوء في المنطقة تحت الحمراء هو $(91.4 + i) \cdot 16.8 = \bar{\epsilon}_r$ ، أوجد معامل الامتصاص والانعكاسية للملح في هذه المنطقة من الطيف.

- ٣٠ - شبه موصل ذو فاصل طاقى مباشر قيمته 1.35 eV عند درجة حرارة الغرفة ومعامل الامتصاص عند 775 nm يساوى $3.5 \times 10^6 m^{-1}$ ، فإذا رسب على عينة منه سمكها $1 \mu m$ طبقة سطحية تمنع انعكاس الأشعة. Antireflection coating احسب الإنفاذية للعينة عند 620 nm.

الحل:

$$T = (1-R)^2 e^{-\alpha l}$$

حيث $R = 0$ لعدم وجود انعكاس.

$$\therefore T = e^{-\alpha l}$$

وبما أن $E_g - E_g \sim (\hbar\omega - \hbar\omega)$ عندما $\alpha(\hbar\omega) \geq 0$ ، حيث: 775 nm تقابل طاقة وهي أكبر من، وكذلك 620 nm تقابل طاقة وهي أكبر من.

$$\therefore \frac{\alpha(620 \text{ nm})}{\alpha(775 \text{ nm})} = \frac{(2-1.35)^{\frac{1}{2}}}{(1.6-1.35)^{\frac{1}{2}}}$$

$$\therefore \frac{\alpha(620 \text{ nm})}{3.5 \times 10^6} = \frac{(0.65)^{\frac{1}{2}}}{(0.25)^{\frac{1}{2}}} = 1.612$$

$$\therefore \alpha(620 \text{ nm}) = 5.64 \times 10^6 m^{-1}$$

$$\therefore T = e^{-\alpha l} = e^{-5.64 \times 10^6 \times 10^{-6}} = 0.37\%$$

٣١ - الزنك معدن ثنائي التكافؤ يحتوى على عدد من الذرات فى المتر المكعب يساوى 6.6×10^{28} ذرة، بين لماذا يبدو سطحه كأنه مرآة تعكس صورة الشمس.

الحل:

كثافة الإلكترونات الحرجة N تعطى من:

$$N = 2 \times 6.6 \times 10^{28} = 1.3 \times 10^{29} \text{ m}^{-3}$$

$$\therefore \omega_p = \left(\frac{Ne^2}{\epsilon_0 m_0} \right)^{\frac{1}{2}} = 2 \times 10^{16} \text{ rad/s}$$

يقابلها طول موجى قدره $\lambda_p = \frac{2\pi c}{\omega_p} = 93 \text{ nm}$ وهى تقع فى مدى الأشعة فوق البنفسجية. ولما كانت الإلكترونات تعكس كل الترددات الأقل من ω_p ، فهذا يعني ان الزنك يعكس كل الأطوال الموجية الخاصة بمنطقة الطيف المرئى، وبالتالي يبدو كأنه يعكس صورة الشمس.

٣٢ - إذا كانت موصلية الألومنيوم عند درجة حرارة الغرفة تساوى $4.1 \times 10^7 \Omega^{-1} \text{ m}^{-1}$ ، أوجد الانعكاسية له عند 500 nm ، إذا علمت أن كثافة الإلكترونات 1.8×10^{29} لكل متر مكعب، $\omega_p = 2.4 \times 10^{16} \text{ rad/s}$ مبيناً تأثير التخميد عليها.

الحل:

$$\therefore \sigma_0 = \frac{Ne^2 \tau}{m_0}$$

$$\therefore \tau = \frac{\sigma_0 m_0}{Ne^2} = 8.0 \times 10^{-15} \text{ s}$$

الطول الموجى 500 nm يقابل تردد زاوي $\omega = \frac{2\pi c}{\lambda} = 3.8 \times 10^{15} \text{ rad/s}$

$$\therefore \epsilon_1 = 1 - \frac{\omega_p^2 \tau^2}{1 + \omega^2 \tau^2} = -39$$

$$\therefore \epsilon_2 = \frac{\omega_p^2 \tau}{\omega(1 + \omega^2 \tau^2)} = 1.3$$

$$\therefore n = \frac{1}{\sqrt{2}} \left\{ -39 + [(-39)^2 + (1.3)^2]^{\frac{1}{2}} \right\}^{\frac{1}{2}} = 0.1$$

$$\therefore K = \frac{1}{\sqrt{2}} \left\{ 39 + [(-39)^2 + (1.3)^2]^{\frac{1}{2}} \right\}^{\frac{1}{2}} = 6.2$$

$$\therefore R = \frac{(n-1)^2 + K^2}{(n+1)^2 + K^2} = 99\%$$

هذه النتيجة تبين أن وجود التخميد أدى إلى تقليل الانعكاسية بمقدار 1% فقط.
 -٣٣ إذا كانت الموصولة الكهربائية للنحاس تساوى $6.5 \times 10^7 \Omega^{-1} m^{-1}$ عند درجة حرارة الغرفة. قارن بين قيمتي عمق التغلغل عندما يكون تردد المجال الكهربائي 50 Hz وأوجد معامل الامتصاص في الحالتين.

الحل :

$$\delta = \frac{2}{\alpha} = \left(\frac{2}{\sigma_0 \omega \mu_0} \right)^{\frac{1}{2}}$$

$$\therefore \omega_1 = 50 \times 2\pi = 314 \text{ rad s}^{-1}$$

$$\therefore \omega_2 = 100 \times 10^6 \times 2\pi = 6.28 \times 10^8 \text{ rad s}^{-1}$$

$$\therefore \frac{\delta(50 \text{ Hz})}{\delta(100 \text{ MHz})} = \left(\frac{\omega_2}{\omega_1} \right)^{\frac{1}{2}} = 1.414 \times 10^3$$

ولإيجاد معامل الامتصاص نوجد :

$$\delta_1 = \frac{2}{\alpha_1} = \left(\frac{2}{\sigma_0 \omega \mu_0} \right)^{\frac{1}{2}} = 0.88 \times 10^2 \text{ m}$$

$$\therefore \alpha_1 = \frac{2}{\delta_1} = 2.27 \times 10^2 \text{ m}^{-1}$$

$$\alpha_2 = \frac{2}{\delta_2} = 3.22 \times 10^5 \text{ m}^{-1}$$

وبالمثل

-٣٤ مستعيناً بأساسيات التركيب النطاقى وكثافة الحالات، اشرح لماذا يظهر النحاس ملوناً خلافاً للكثير من المعادن الأخرى.



المراجع (References)

- 1-Solid State Physics. G.I.Epifanov. Moscow institute of electronic engineering. 1979.
- 2-Solid State Physics. Neil W Ashcroft. N.David Mermin. Cornell University 1976. Volume 1 & II.
- 3-Physics of Solids. Charles A. werrt. Robb M Thomson. University of Illinois. 1964.
- 4-Introduction to Solid State Physics. Charles Kittel. I-V Editions. John Willey and Sons .Inc.1978.
- 5-Optical Properties of Solid. Mark Fox. University of Sheffield. 2006.
- 6-G.D.Mahan. J Appl. Phys..1980.
- 7-K.Kawamura etal. Thin Solid Films.2003.
- 8-Point -defects – induced band-gap narrowing. H.Sam etal. Thin Solid Films. 2004.
- 9-Electronic Properties of Crystalline Solids. Richard H.Bube. Academic press. New York ,1974.
- 10- Solid State Physics .J.S.Blakemore. Cambridge Univ. press 2004.
- 11- Electronic Emission.L.N.Dobrylsov. M.V.Gomounova. Moscow. Nawka press 1966.
- 12- Solid State Physics. H.Ibach.H.Luth ; Springer. Indian reprint 2004.
- 13- Solid State Physics and its applications. R.J.Elliott. A.F.Gibson ; G.B.1976.
- 14-A modern Handbook of physics. B.M.Yavorsky and A.A.Detla. Mir Publishers. Moscow 1982.

- 15- Physics of Semiconductors and Dielectrics. P.T.Areshken. High School. Moscow 1977.
- 16- Materials Science. B.Arzasov. Mir Publishers. Moscow 1989.
- 17- Electronic processes in Non-crystalline Materials. N.F.Mott and E.A.Davis. Clarendon. Oxford .1971.
- 18-Mostafa Kamal. A.B.El Bediur. Radiation Effects in solids. vol 159 pp.651-657. 2004.
- 19-G.E.Doan. The principles of physical Metallurgy. Mc Graw - Hill Book company. INC. New York. Toronto. London. Library of congress card Number 52-743. 1953.
- 20-Green .D.. An Introduction to Mechanical properties of Ceramics. Cambridge Solid State Science Series .Eds. Clarke. D.R.Suresh.S.,Ward.I.M.,1998.
- 21-D.Kuhlmann-Wilsdorf. "Theory of Plastic deformation". Materials Science and Engineering A.vol. 113, pp 1-42.1989.
- ٢٢- أساسيات فيزياء الجوماد د. رافت كامل واصف دار النشر للجامعات - القاهرة .١٩٩٤
- ٢٣- فيزياء الحالة الصلبة ، د. يحيى نوارى الجمال جامعة الموصل - العراق.

أهم الرموز الفيزيائية المستخدمة

الكلمة الفيزيائية	الرمز	الكلمة الفيزيائية	الرمز
طاقة التكوير ، طاقة الالكترون في الحالة النهائية	E_f	طاقة التبادل الالكترونيات ، المساحة	A
طاقة قدر برافي	E_r	سعة الموجة المصاحبة للإلكترون ، سعة الاهتزازة الذرية	a
اتساع الفاصل الطيفي	E_g	نصف قطر بور	$\frac{a}{2}$
طاقة الالكترون في منطقة التكافؤ ، طاقة ثالين الذرة	E_i	متجهات شبكيات برافي	a_p
ال حاجز الطيفي بين ذرات الشبكة	E_j	مجموعة متجهات شبكيه برافي	a_j
طاقة حركة	E_k	ثابت معاذلة طاقة فان دير فال	a
العرض الطيفي للمستوى الثاني رقم n	E_n	ثابت معادلة التأثير ليورن	B
اتساع الفاصل الطيفي الضوئي	E_{opt}	كتافة الفيض الخارجي	B_{ext}
طاقة الفونون	E_{ph}	كتافة الفيض الداخلي	B_{int}
طاقة الككلة	E_T	دالة بريليون	B
طاقة قمة منطقة التكافؤ	E_V	الجث المغناطيسي المتبقى	B_{res}
طاقة تكوير الفراغ	E_0	قيمة الجث المغناطيسي التشبعية	B_s
طاقة متوسطة الكمية المميت التواقي	E	متغير	b
سعة الموجة الكهربية	E	مجموعة متجهات الشبكية المعكورة	b_1
مجال كهربى تأثيرى	E_H	ثابت معاذلة طاقة فان دير فال	b
القوة	F	سرعة الضوء	C
قوه الجذب المركزي	F_G	ثابت كوري	C
قوة لورنس	F_L	طول محور الخلية الابتدائية للتركيب السادس	c
قوة المقاومة	F_r	السعة الحرارية للغاز الإلكتروني	C_p
كر الانزلاق	F_s	مجموعة متجهات مشككية المعكورة	Ci
دالة قيرمي ، قوة رادة	f	سرعة الموجات الطولية	C_l
القيمة المتوسطة للقوة	\bar{f}	سرعة انتشار الموجات	C_o
محصلة التفاف الإنتشاري	f_B	سرعة الموجات المستعرضة	C_p
دالة أينشتين	f_E	السعة الحرارية الذرية	C_d
شدة المتناثرت الإلكتروني لكل انتقال	f_I	الإزاحة الكهربية	D
الطاقة الحرية للنظام	F	معامل انتشار	D
الإجهاد القصي ، معامل الصلابة	G	ثابت الانتشار الذري	D_b
الإجهاد القصي الحرج	G_c	القطر الأساسي للخلية الابتدائية ، المسافة بين مستويات	d
كلافة الحالات في فراغ المتوجه الموجي ، معامل لاند	g	طاعة التشبيط لانتشار الذري	E
معامل الاهارمونية	g	طاعة مستوى الشوابن الآخنة	E_{sh}
معامل المرونة القصي	g	طاقة التشويفية الإلكترونية	E_{el}
شدة المجال المغناطيسي	H	طاقة إلكترون زوج كبير	E_b
المجال المغناطيسي الحرج	H_s	طاقة قاع منطقة التوصيل	E_c
مجال مغناطيسي خارجي	H_{ex}	طاقة مستوى الشوابن المعدنية	E_d
مجال مغناطيسي تأثيرى	H_H	الفاصل الطيفي في الموصلات الفائقة	E_{super}
مجال مغناطيسي داخلى	H_m	طاعة إثارة الجسيمين	E_{exc}
الكتلة الفعالة للإلكترون	m^*	مؤثر هيرميت	H_s
الكتلة الفعالة للجسيمات الثقبة	m_h^*	ثابت بلانك	\hbar
الكتلة الفعالة للجسيمات الثقبة	m_{hh}^*	معاملات ميلار	h, h_c, ϵ
	$\frac{h}{2\pi}$	ثابت بلانك	\hbar

أهم الرموز الفيزيائية المستخدمة

الرمز	المعنية الفيزيائية	الرمز	المعنية الفيزيائية
I	شدة الضوء ، شدة التيار	I_m	شدة المغناطيسية
N_{μ}	الكتلة الفعلية لفجوات المنطقة المفصولة	N	عدد الألكترونات للمادة ، عدد الألكترونات في وحدة الحجم
N_A	عدد أفرجادرو	N_i	تركيز الشوائب
n	العدد الكمي الرئيسي ، آيس بورن ، العدد الكمي الرئيسي ، معامل الانكسار	n	الكتلة المغناطيسية أو درجة المغناطيسية
n_l	معامل الانكسار المركب	I_m	العزم المغناطيسي الإلكتروني لوحدة الحجم
n_0	تركيز العازل الإلكتروني	I_s	الكتلة المغناطيسية الشيعية
n_{ph}	تركيز الغونونات	J	ثابت جول
n_p	هو تركيز الكترونات التوصيل الفائق	J	كثافة التيار
P	عزم ثانوي القطب	J ₀	كثافة التيار الحرجة
P_{current}	المرکبة الرئيسيّة للاستقطاب	J ₀	طاقة تفاعل التبادل الكهرومغناطيسي
$P_{\text{background}}$	المرکبة غير الرئيسيّة للاستقطاب	K	طاقة التفاعل الكهرومغناطيسي
P	شدة القطب	K_0	أصغر طول لمنجه الشبكة الممكورة
P_1	كمية التحرك الفورية الكلية	k	المنجه الموجي
P_2	كمية التحرك المدارية الكلية للذرة	k_F	المنجه الموجي المورمي
P_3	كمية التحرك المغزالية للألكترون	k_{max}	القيمة القصوى للعدد الموجي
P_{2H}	مرکبة كمية التحرك المغزالية للألكترون في اتجاه المجال	K	الموصلية الحرارية
P	كمية تحرّك الألكترون	K_0	الموصلية الحرارية للفاز الإلكتروني
P_0	كمية الحركة الإلكترونون	$K_{lattice}$	الموصلية الحرارية للشبكة
P	كمية الحركة المدارية للألكترون	K	الانضباطية
P_{BH}	معامل الانقراض	L	عدد لورنس
P_{ph}	العدد الكمي المداري الكلي ، الطول	L	القطر الفعال للثاني الإلكتروني أو طول الالتصاق
P	الاستقطابية	L_F	المسافة بينقطين ، الطول ، العدد الكمي المداري
q	الشحنة الكهربائية	M	العزم المغناطيسيي ، الكلة
q_F	عد صحيف	M_{eff}	العزم المغناطيسيي الفعال
R	الكتمة الكهربائية ، الثابت العام للغازات	M_I	العزم المغناطيسيي الذري
R_c	الانعكاسية	M_{IH}	مرکبة العزم المغناطيسيي الذري في اتجاه المجال
R	متوجه شبكية برافى الفراشي	m	الكتلة
R_K	متوجه نصف قطر النواة	m_0	كتلة السكون للألكترون
r	متوجه موضع الألكترون	m_j	العدد الكمي المغناطيسي
r_0	متوجه موضع النواة	m_p	العدد الكمي المغناطيسي
r_c	متوجه نصف قطر موضع الألكترون	m_N	كتلة النواة
r_K	متوجه نصف قطر موضع النواة	r_p	متوجه نصف قطر الموضع للألكترون
r_{ph}	نصف قطر كررة التشتت الاحتمالية للغونونات	X	الكتبة المغناطيسية
X ₀	الكتبة المغناطيسية	S	الإنتروبيا ، تكامل التداخل للسحابيات الإلكترونية ، العدد الكمي المغزلي ، السلاحة المحمدة بمدار الألكترون
X ₀₁	الكتبة المغناطيسية المولارية	S _{conf.}	الإنتروبيا التكوبية
X ₀₂	الكتبة المغناطيسية الحجمية	S _M	الإنتروبيا المغناطيسية

أهم الرموز الفيزيائية المستخدمة

الرمز	الكلمة الفيزيائية	الرمز	الكلمة الفيزيائية
S_m	الانتروبيا الحرارية	X_0	القابلية المغناطيسية الكتلة
T	درجة الحرارة ، متوجه الإزاحة الفراغي	\bar{x}	السامحة الكهربائية
T_0	درجة الحرارة الحرجة	I_a	السامحة الفرية
t	الزمن	γ	معامل ينبع لبرسط
J	الإنفاذية	γ	السامية الكهربائية للعنصر
U	طاقة الداخليّة للنظام ، طاقة الوضع	y	إحداثيّ موضع
U_{att}	طاقة التجاذب الأيوني	z	العند الذري للعنصر ، إحداثيّ موضع
U_b	طاقة الرابط	α	معامل الامتصاص
U_d	طاقة تفاعل التشتت	∞	المعامل الحراري للمقاومة النوعية ، معامل التعدد الطولي
U_{ee}	دالة الوضع لتفاعل الإلكترونات كل مع الآخر	ω_e	معامل التعدد الطولي الحراري
U_{ex}	دالة وضع الإلكترونات والأيونات في المجال الخارجي	ω_s	معامل التعدد الطولي المغناطيسي
U_{el}	دالة تفاعل كل الإلكترون مع كل نواة	β	ثابت القوة الراداء ، معامل المرونة الحجمي للجسم الصلب
U_{el}	دالة الوضع لتفاعل النوبات كل مع الآخر	γ	معدل التخميد
U_{in}	طاقة تفاعل الحث	γ_i	معامل التخميد لخط رئيسي معين
U_{inj}	طاقة الوضع للزرم المغناطيسي	γ_e	النسبة الجير ومخناطيسية المدارية
U_{or}	طاقة التفاعل التوجيهي	γ_s	النسبة الجير ومخناطيسية المغزلية
U_{rep}	طاقة التناقض	Δ	الجهد الكيبياني لمادة الاتصال
U	الإزاحة الترية	ΔE_d	طاقة الثانين للمستويات الشائنة المعطية
u	القيمة الكتليلية المعرفة عن كثليّة النواة والإلكترون	ΔE_{BM}	ازاحة بورشتن - موس
V	حجم الخلية الأولية للشبكة الأساسية : الحجم	ΔE_N	مقدار انكماش المنطقة الحرمة
V_r	حجم الخلية الأولية للشبكة الممكّسة	ΔT	الإجهاد القصي للزرم لتحريره الانخلاءات
V_c	فرق جهد الاتصال	δ	عمق التعلق
v	السرعة	τ	موثر لابلاس
V	السرعة المتوسطة	Λ	ثابت مائلونج
V_0	سرعة الإلكترون	ϵ	ثابت العزل
V_d	السرعة الانسقافية أو الإنفاذية	ϵ_0	ثابت العزل للفراغ
V_p	سرعة الإلكترونات فيرمي	ϵ_1	القيمة الحقيقة لثابت العزل
V_R	سرعة المجموعة	ϵ_2	القيمة التقليدية لثابت العزل
V_N	سرعة النواة	ϵ_R	ثابت العزل النسبى عند الترددات العالية
V_m	السرعة الحرارية المتوسطة للإلكترونات	ϵ_{R_p}	ثابت العزل النسبى
W	عدد الطرق الإحصائية	ϵ_{R_d}	ثابت العزل النسبى في المجال الكهربائي الاستاتيكي
W_a	الكتلة المولارية	ϵ_R	ثابت العزل النسبى المركب
W_M	الاحتلال التثبيت مديناميكي	η	ثبات المجال الحراري
W_m	الشكل المتذبذل في عملية التقطف	ξ	سعة الاهتزازة الترية الثقيلة نسبيا
X	الإزاحة ، إحداثيّ الموضع	σ	الموصلية النوعية
0	زاريّة براغ	σ_i	الموصلية الكهربائية الذاتية
0_C	درجة حرارة او نقطة كوري	σ_h	الموصلية الكهربائية للاكترونات
θ_D	درجة حرارة ديداي	σ_g	الموصلية الكهربائية المستمرة
θ_B	درجة حرارة أينشتين	σ_p	الموصلية الكهربائية للفجوات
λ	الطول المرجي		

أهم الرموز الفيزيائية المستخدمة

الرمز	الكلمة الفيزيائية	الرمز	الكلمة الفيزيائية
λ	الطول الموجي المقابل لاتساع المنطقة المحرمة	$\lambda_{\text{حر}}$	مساحة مقطع التشتت للغونون
$\lambda_{\text{حر}}$	مساحة مقطع التبعثر	$\lambda_{\text{أقصى}}$	أقل طول موجي
$\lambda_{\text{أقصى}}$	إجهاد الإذاعن	$\lambda_{\text{ط}}$	طول المسار الحر للغونون
$\lambda_{\text{ط}}$	زمن الاسترخاء	$\lambda_{\text{م}}$	متوسط طول المسار الحر
$\lambda_{\text{م}}$	زمن الاسترخاء للاكترونات فيرمي	$\lambda_{\text{م}}'$	متوسط المسار الحر للاكترونات فيرمي
$\lambda_{\text{م}}'$	متوسط زمان الاسترخاء	$\lambda_{\text{ف}}$	عمق التغليفل في المواد فائقة التوصيل
$\lambda_{\text{ف}}$	دالة الشعل	μ	القادية المغناطيسية
μ	زاوية التشتت ، الإنفعال التصني	$\mu_{\text{تف}}$	القادية المغناطيسية التفاضلية
$\mu_{\text{تف}}$	الدالة الموجية للاكترون	$\mu_{\text{م}}$	القادية المغناطيسية للأوانيوم
$\mu_{\text{م}}$	سرعة زاوية ، التردد الزاوي ، أقل تردد للذبذبات الصوتية	$\mu_{\text{أه}}$	تحركة الإلكترونات في الألومنيوم
$\mu_{\text{أه}}$	أقل تردد لفرع الذبذبات الصوتية	$\mu_{\text{بر}}$	بواه ماحتون
$\mu_{\text{بر}}$	أقصى تردد لفرع الصوتى للذبذبات	$\mu_{\text{تف}}'$	القادية المغناطيسية العالة
$\mu_{\text{تف}}'$	أقل تردد لفرع الصوتى للذبذبات	$\mu_{\text{عر}}$	العرم المغناطيسي للذررة
$\mu_{\text{عر}}$	التردد المخرج	$\mu_{\text{تح}}$	تحركة الجروات
$\mu_{\text{تح}}$		$\mu_{\text{تفا}}$	القادية المغناطيسية الأولية
$\mu_{\text{تفا}}$		$\mu_{\text{عر}}$	العرم المغناطيسي المداري للاكترون
$\mu_{\text{عر}}$		$\mu_{\text{بر}}'$	مركبة العزم المغناطيسي المداري في اتجاه المجال
$\mu_{\text{بر}}'$		$\mu_{\text{تح}}$	تحركة للاكترونات
$\mu_{\text{تح}}$		$\mu_{\text{تح}}'$	مجموع تحركة الإلكترونات والجروات
$\mu_{\text{تح}}'$		$\mu_{\text{تفا}}'$	القادية المغناطيسية النسبية
$\mu_{\text{تفا}}'$		$\mu_{\text{عر}}'$	العرم المغناطيسي المغزلي للاكترون
$\mu_{\text{عر}}'$		$\mu_{\text{بر}}''$	مركبة العزم المغناطيسي المغزلي للاكترون في اتجاه المجال
$\mu_{\text{بر}}''$		ν	التردد
ν		$\nu_{\text{ذ}}$	تردد المستذبذب الذري
$\nu_{\text{ذ}}$		$\nu_{\text{دي}}$	تردد دينامي
$\nu_{\text{دي}}$		$\nu_{\text{تص}}$	عدد التصادمات للاكترونات
$\nu_{\text{تص}}$		$\nu_{\text{حادث}}$	التردد الحادث نتيجة وجود المجال المغناطيسي
$\nu_{\text{حادث}}$		$\nu_{\text{رئي}}$	التردد الرئيسي
$\nu_{\text{رئي}}$		$\bar{\nu}$	متوسط عدد التصادمات
$\bar{\nu}$		ρ	المقاومة النوعية ، كثافة المادة
ρ		ρ_{res}	المقاومة المتبقية
ρ_{res}		$\rho_{\text{احتم}}$	كثافة الاحتمال
$\rho_{\text{احتم}}$		$\rho_{\text{حر}}$	المقاومة النوعية الحرارية
$\rho_{\text{حر}}$		$\rho_{\text{اخ}}$	كثافة الاخلاعات
$\rho_{\text{اخ}}$			

جدول : بادئات مضاعفات وكسور الوحدات الأساسية في النظام SI

معامل الضرب Multiplying factor	البادئة Prefix	الرمز Symbol	معامل الضرب Multiplying factor	البادئة Prefix	الرمز Symbol
10^{-18}	a	أتو atto	10^{18}	E	إكزا exa
10^{-15}	f	فيمتو femto	10^{15}	P	بيتا peta
10^{-12}	p	بيكو pico	10^{12}	T	تريرا tera
10^{-9}	n	نثو nano	10^9	G	جيجا giga
10^{-6}	u	ميکرو micro	10^6	M	ميجا mega
10^{-3}	m	ملي milli	10^3	k	كيلو kilo
10^{-2}	c	سنتي centi	10^2	h	هكتو hecto
10^{-1}	d	ديسي deci	10	da	ديكا deca

بعض الثوابت الفيزيائية

القيمة	الرمز	الكمية
$5.292 \times 10^{-11} m$	a_H	نصف قطر الهيدروجين لبوهر
$2.9979 \times 10^8 ms^{-1}$	C	سرعة الضوء في الفراغ
$1.602 \times 10^{-19} c$	e	شحنة الإلكترون
$9.109 \times 10^{-31} Kg$	m_0	كتلة السكون للإلكترون
$1.7588 \times 10^{11} cKg^{-1}$	e/m_0	الشحنة النوعية للإلكترون
$1.6726 \times 10^{-27} Kg$	m_p	كتلة السكون للبروتون
$1.6749 \times 10^{-27} Kg$	m_n	كتلة النيترون
$6.673 \times 10^{-11} Nm^2 Kg^{-2}$	G	ثابت الجاذبية
$6.626 \times 10^{-34} Js$	\hbar	ثابت بلانك
$6.022 \times 10^{23} mol^{-1}$	N_A	عدد أفراد جادرو
$8.315 J/mol^{-1} K^{-1}$	R	الثابت العام للمغازات
$1.3807 \times 10^{-23} JK^{-1}$	$k_B = \frac{R}{N_A}$	ثابت بولتزمان
$8.854 \times 10^{-12} Fm^{-1}$	ϵ_0	السماحية الكهربائية للفراغ (الثابت الكهربائي)
$4\pi \times 10^{-7} NA^{-2}$	μ_0	النفاذية المغناطيسية للفراغ (الثابت المغناطيسي)
$9.274 \times 10^{-24} JT^{-1}$	$\mu_B = \frac{e\hbar}{2m_0}$	بوهر ماجنتون
$9.2848 \times 10^{-24} JT^{-1}$	μ_e	العزم المغناطيسي للإلكترون
$5.67 \times 10^{-8} w m^{-2} K^{-4}$	σ	ثابت ستيفان - بولتزمان
$1.602 \times 10^{-19} J$	eV	الإلكترون فولت
$1.1604 \times 10^4 K$		درجة الحرارة عندما $k_B T = 1 eV$
$2.418 \times 10^4 Hz$		التردد عندما $h\nu = 1 eV$
$1.2398 \times 10^{-6} m$		الطول الموجي عندما $\frac{hc}{\lambda} = 1 eV$

الحاصلون على جائزة نوبل في الفيزياء من 1901 إلى 2012

<u>DAVID J. WINELAND & SERGE HAROCHE</u>	<u>2012</u>	منحت الجائزة مشاركة بين : عن الطرق التجريبية الرائدة التي جعلت من الممكن قياس ومعالجة الأنظمة الكمية المستقلة . individual quantum systems
<u>SAUL PERLMUTTER</u>	<u>2011</u>	منحت مناصفة بين : عن اكتشاف التمدد المتتسارع للكون accelerating expansion of the universe . السوبرنوفا البعيد distant supernovae
<u>& ADAM G. RIESS and BRIAN P. SCHMIDT</u>		منحت مناصفة بين : عن التجارب الرائدة على مادة الجرافين في بعدين .
<u>ANDRE GEIM & KONSTANTIN NOVOSELOV</u>	<u>2010</u>	منحت مناصفة بين : عن الإجراءات المتعلقة بانتقال الضوء في الألياف للاتصالات الضوئية optical communication
<u>CHARLES K. KAO</u>	<u>2009</u>	منحت مناصفة بين : عن الإنجازات المتعلقة باتصال الضوء في الألياف للاتصالات الضوئية
<u>WILLARD S. BOYLE & GEORGE E.</u>		<u>& SMITH</u> عن اختراع دائرة شبه موصل للتصوير والتي تسمى CCD sensor
<u>YOICHIRO NAMBU</u>	<u>2008</u>	منحت مناصفة بين : عن اكتشاف ميكانيكية التماش المحطم spontaneous broken symmetry ذاتية في الفيزياء دون النظرية .
<u>& MAKOTO KOBAYASHI & TOSHIHIDE MASKAWA</u>		منحت مناصفة بين : عن اكتشاف أصل التماش المحطم the origin of the broken symmetry الذي يتنبأ بوجود ثلاث عالات على الأقل من الكواركات الطبيعية .
<u>ALBERT FERT & PETER GRÜNBERG</u>	<u>2007</u>	منحت مشاركة بين : عن اكتشافهما المقارمة المغناطيسية العلاقة المفرطة Giant Magnetoresistance .
<u>JOHN C. MATHER & GEORGE C. SMOOT</u>	<u>2006</u>	منحت مشاركة بين : عن اكتشاف خصائص الجسم الأسود و عدم تماثل الخواص الاتجاهية للأشعة الكونية الميكرونية .
<u>ROY J. GLAUBER</u>	<u>2005</u>	منحت مناصفة بين : عن إسهاماته في النظرية الكمية للاتصال الضوئي Theory of optical coherence
<u>& THEODOR W. HÄNSCH & JOHN L. HALL</u>		عن مساهمته في تطوير أنظف الدقة الليزرية laser-based precision spectroscopy التي تتعلق على تكنولوجيا مشط التردد الضوئي Optical comb technique .
<u>FRANK WILCZEK & DAVID J. GROSS, H. DAVID POLITZER</u>	<u>2004</u>	منحت مشاركة بين : عن اكتشاف خط الحرية التجريبي asymptotic freedom في نظرية التفاعل الضوئي .
<u>ANTHONY J. LEGGETT&ALEXEI A. ABRIKOSOV, VITALY L. GINZBURG</u>	<u>2003</u>	منحت مشاركة بين : عن المساهمات الرائدة في نظرية الموصلات الفانقة والموائع الفانقة superconductors and superfluids .
<u>MASATOSHI KOSHIBA & RAYMOND DAVIS JR.,</u>		منحت مناصفة بين : عن مساهمتهما الرائدة في مجال الفلك (فيزياء الفضاء astrophysics) وخاصة في اكتشاف النيوترونيون الكوني .
<u>& RICCARDO GIACCONI</u>		منحت مناصفة بين : عن مساهماته الرائدة في فيزياء الفضاء والتي توجت باكتشاف مصادر الأشعة السينية الكونية cosmic X-ray sources .
<u>ERIC A. CORNELL, WOLFGANG KETTERLE & CARL E. WIEMAN</u>	<u>2001</u>	منحت مشاركة بين : عن تحقيق تثبيت بوز-إينشتين Bose-Einstein condensation على غازات الذرات القلوية المخففة ، وكذلك للدراسات الأساسية المبكرة عن خصائص المتكثفات condensates .

منحت مناصفة بين : عن تطوير تركيبات شبه الموصل semiconductor heterostructures واستخداماتها في الإلكترونيات الضوئية .

- & JACK ST. CLAIR KILBY عن مساهمته في اختراع الدوائر المتكاملة .integrated circuit منحت مشاركة بين : 1999 MARTINUS J.G. VELTMAN & GERARDUS 'T HOOFT عن تفسير التركيب الكمي للتفاعلات ضعيفة الكهربائية في الفيزياء . منحت مشاركة بين : 1998 ROBERT B. LAUGHLIN, HORST L. STORMER & DANIEL C. TSUI عن اكتشافهم صيغة جديدة للمانع الكمي ذات إثارات لكسور الشحنات .fractionally charged excitations منحت مشاركة بين : 1997 WILLIAM D. PHILLIPS & STEVEN CHU, CLAUDE COHEN-TANNoudji عن تطوير طرق تبريد واصطياد الذرات بضوء الليزر . cool and trap atoms with laser light منحت مشاركة بين : 1996 DAVID M. LEE, DOUGLAS D. OSHEROFF & ROBERT C. RICHARDSON عن اكتشافهم المانعة المفرطة في الهيليوم-3 .superfluidity in helium-3 منحت مشاركة بين : 1995 MARTIN L. PERL عن اكتشاف جسيم الناو ييتون tau lepton وهو جسيم أولى سالب الشحنة وله دورانية مغزالية تساوي $\frac{1}{2}$ وهو كبير الشبه بالإلكترون ونظرًا لكبر كتلته لا يمكنه الانبعاث . منحت مشاركة بين : 1994 & FREDERICK REINES عن اكتشاف النيوترينو neutrino . منحت عن المساهمات الرائدة في تطوير طرق التبعثر النيوتريوني لدراسة الموادصلبة بين : 1994 BERTRAM N. BROCKHOUSE عن تطوير الطيف النيوتريوني .
- & CLIFFORD G. SHULL عن تطوير طريقة حيدود النيوتريونات . منحت مشاركة بين : 1993 JOSEPH H. TAYLOR JR. & RUSSELL A. HULSE عن اكتشاف نوع جديد من النجوم النيوتريونية باعثة التبضات pulsar ، مما أتاح إمكانيات جديدة لدراسة الجاذبية . منحت للعالم : 1992 GEORGES CHARPAK عن اكتشاف وتطوير كواشف الجسيمات particle detectors ، وبشكل خاص حجرة التناسب عديدة الأسلاك . multiwire proportional chamber منحت للعلم : 1991 PIERRE-GILLES DE GENNES عن اكتشاف طرق ظاهرة الترتيب أو النسق (order) في الأنظمة البسيطة وتطوريها لتعمم على أنظمة المواد الأكثر تعقيدا ، وبشكل خاص على البليورات المساننة والمواد البترولية (polymers) . منحت مشاركة بين : 1990 RICHARD E. TAYLOR & JEROME I. FRIEDMAN, HENRY W. KENDALL عن الدراسات الرائدة المتعلقة بالتشتت غير العرمن للإلكترونات بواسطة البريونات والنيترونات المقيدة والتي تعتبر ذات أهمية أساسية في تطوير نموذج الجسيم الأولي الكوارك (quark) في فيزياء الجسيمات . منحت مشاركة بين : 1989 NORMAN F. RAMSEY عن اختراع طريقة المجالات المتذبذبة المنفصلة واستخدامها في ميزر (maser) الهيدروجين والمساعات الفضائية الأخرى .
- & WOLFGANG PAUL and HANS G. DEHMELT عن تطوير تكنولوجيا إصطياد الأيونات . ion trap technique منحت مشاركة بين : 1988 LEON M. LEDERMAN, MELVIN SCHWARTZ and JACK STEINBERGER عن تكنولوجيا شعاع النيوتريينو ، وتحقق التركيب الثاني لجسيمات البيتون من خلال اكتشاف الجسيم الأولي مون نيوتريينو muon neutrino . منحت مشاركة بين : 1987 LLER- K. ALEXANDER M & J. GEORG BEDNORZ عن المساهمات الهامة في اكتشاف الموصلية الفائقة في المواد الخزفية (ceramic materials) . منحت مشاركة بين : 1986 ERNST RUSKA عن الإنجازات الهامة في مجال الضوء الإلكتروني وتصميم أول ميكروسكلوب الإلكتروني .

- & HEINRICH ROHRER and GERD BINNIG
 عن تعميم الميكروскоп النفقي الماسح (scanning tunneling microscope) .
 منحت للعالم : 1985
KLAUS VON KLITZING
 عن اكتشاف تأثير هول الكمي (quantized Hall effect) .
 منحت مشاركة بين : 1984
SIMON VAN DER MEER & CARLO RUBBIA
 عن المساهمات الحاسمة في مشروع كبير قادت إلى اكتشاف مجال الجسيمات المرسلة ذات التفاعل الضعيف (weak interaction) .
 منحت مشاركة بين : 1983
SUBRAMANYAN CHANDRASEKHAR
 عن الدراسات النظرية للعمليات الفيزيائية ذات الأهمية في تركيب ونشوء النجوم structure & evolution of stars & WILLIAM A. FOWLER
 عن الدراسات النظرية والتجريبية في مجال التفاعلات النووية ذات الأهمية في تكون عنصري كيميائية في الكون .
 منحت للعلم : 1982
KENNETH G. WILSON
 عن نظرية الظواهر الحرجة المرتبطة بالتحولات الطورية critical phenomena in connection with phase transitions.
 منحت مشاركة بين : 1981
ARTHUR L. SCHAWLOW & NICOLAAS BLOEMBERGEN
 عن المساهمة في تطوير طيف الليزر .
 & KALM. SIEGBAHL
 عن المساهمة في تطوير الطيف الإلكتروني ذي الثبات العالي high-resolution .
 منحت مشاركة بين : 1980
VAL L. FITCH & JAMES W. CRONIN
 عن اكتشاف تضليل (مخالفة) مبادئ التماثل الأساسية أثناء اضمحلال ميزونات K المتعادلة decay of neutral K-mesons .
 منحت مشاركة بين : 1979
STEVEN WEINBERG & SHELDON L. GLASHOW, ABDUS SALAM
 عن المساهمات في نظرية التفاعل الكهرومغناطيسي والتفاعل الضعيف الموحد بين الجسيمات الأولية والتي شملت التبيؤ بالتأثير المتعادل الضعيف weak neutral current .
 منحت مشاركة بين : 1978
PYOTR LEONIDOVICH KAPITSA
 عن اختراعاته وإكتشافاته الأساسية في مجال فزياء الحرارة المنخفضة low-temperature physics & ROBERT W. WILSON and ARNO A. PENZIAS
 عن اكتشاف الشعاع الكوني المرجعي القصير cosmic microwave background radiation .
 منحت مشاركة بين : 1977
JOHN H. VAN VLECK & PHILIP W. ANDERSON, SIR NEVILL F. MOTT
 عن الدراسات النظرية الأساسية عن التركيب الإلكتروني للأنظمة المغناطيسية وغير المرتبطة magnetic and disordered systems .
 منحت مشاركة بين : 1976
SAMUEL C. C. TING & BURTON RICHTER
 عن العمل الرائد في اكتشاف جسيم أولي ثقيل من نوع جديد .
 منحت مشاركة بين : 1975
JAMES RAINWATER & AAGE BOHR, BEN MOTTELSON
 عن اكتشاف الارتباط بين الحركة التجميعية collective motion وحركة الجسيم في النواة الذرية وتطوير نظرية تركيب النواة بناء على هذا الإرتباط .
 منحت مشاركة بين : 1974
ANTONY HEWISH & SIR MARTIN RYLE
 عن الأعمال الرائدة في فزياء الفلك ، وملحوظات ريد Ryle واختراعاته ، ودور هويش Hewish في اكتشاف بولسارات pulsars .
 منحت مشاركة بين : 1973
IVAR GIAEVER & LEO ESAKI
 عن اكتشافهما التجريبية المرتبطة بالظواهر النفافية tunneling phenomena في أنبياء الموصلات والموصلات الفانقة .
 & BRIAN D. JOSEPHSON
 عن تنبؤاته النظرية عن خصائص التيار الفائق supercurrent خلال الحاجز النفقي ، خاصة تلك التي ظهرت في الهامة . Josephson effects .

- J. ROBERT SCHRIEFFER & JOHN BARDEEN, LEON N. COOPER 1972 منحت مشاركة بين : عن مشاركتهم في تطوير نظرية التوصيل الفائق ، والمعروفة بالنظرية BCS-theory .
- DENNIS GABOR 1971 منحت للعالم : عن اختراع وتطوير الطريقة الهولوغرافية holographic method .
- HANNES ALFVN 1970 منحت مناسقة بين : عن الأعمال الأساسية والاكتشافات في مجال الديناميكا الهيدرومغناطيسية magneto-hydrodynamics وتطبيقاتها المتمرة في الأقعر المختلفة لفيزياء البلازما plasma physics .
- & LOUIS NEL عن الأعمال الرائدة والاكتشافات المتعلقة بالأنتيغرومغناطيسية والتيريمغناطيسية antiferromagnetism and ferrimagnetism . solid state physics
- MURRAY GELL-MANN 1969 منحت للعلم : عن المساهمات والاكتشافات المتعلقة بتصنيف الجسيمات الأولية وتفاعلاتها classification of elementary particles and their interactions .
- LUIS W. ALVAREZ 1968 منحت للعلم : عن المساهمات الناجزة في فيزياء الجسيمات الأولية ، وخاصة اكتشاف عدد كبير من الحالات المرنينة resonance states من خلال تطوير تكنولوجيا حجرة الهيدروجين hydrogen bubble chamber وتحليل النتائج .
- HANS ALBRECHT BETHE 1967 منحت للعلم : عن مساهماته في نظرية التفاعلات النووية ، وإكتشافاته المرتبطة بتحول الطاقة في النجوم energy production in stars
- ALFRED KASTLER 1966 منحت للعلم : عن اكتشاف وتطوير طرق ضوئية لدراسة الرنين الهرتزوي hertzian resonances في الذرات .
- RICHARD P. FEYNMAN & SIN-ITIRO TOMONAGA, JULIAN SCHWINGER 1965 منحت مشاركة بين : عن الأعمال الهمامة في مجال الديناميكا الكهربائية الكمية quantum electrodynamics والمساهمات الجادة في فيزياء الجسيمات الأولية physics of elementary particles .
- CHARLES H. TOWNES 1964 منحت مناسقة بين : عن الأعمال الهمامة في مجال الإلكترونيات الكمية ، والتي أدت إلى تصنيع المكibrات amplifiers والمتذبذبات oscillators المعتمدة على مبدأ الليزر - ميزر maser-laser principle .
- EUGENE P. WIGNER 1963 منحت مناسقة بين : عن المساهمات في نظرية النواة الذرية والجسيمات الأولية ، خاصة من خلال اكتشاف وتطبيق مبادئ التقابل fundamental symmetry principles .
- & J. HANS D. JENSEN and MARIA GOEPPERT-MAYER عن الاكتشافات المتعلقة بتركيب الغلاف النووي nuclear shell structure .
- LEV DAVIDOVICH LANDAU 1962 منحت للعلم : عن النظريات الفدّة في المواد الكثيفة ، خاصة الهيليوم الصانل .
- ROBERT HOFSTADTER 1961 منحت مناسقة بين : عن الدراسات الهمامة عن تشتت الإلكترون في النواة والإكتشافات المتعلقة بتركيب النيكليونات stucture of the nucleons .
- & RUDOLF LUDWIG MOSSBAUER عن الأبحاث المتعلقة بالإمتصاص الرئيسي resonance absorption بإشعاع جاما وإكتشاف تأثير "موسباور" الذي يحمل إسمه .
- DONALD A. GLASER 1960 منحت للعلم : عن اختراعه لغرفة الفقاعة bubble chamber .
- EMILIO GINO SEGR & OWEN CHAMBERLAIN 1959 منحت مشاركة بين : عن اكتشاف الأنتiproتون antiproton .

1958 منحت مشاركة بين :

PAVEL ALEKSEYEVICH CHERENKOV , IL'JA MIKHAILOVICH FRANK & IGOR YEVGENYEVICH TAMM

عن اكتشاف وتفسير تأثير تشيرنوكوف Cherenkov effect .

1957 منحت مشاركة بين :

TSUNG-DAO LEE & CHEN NING YANG

عن الدراسات العميقه عن قوانين المضاهاه (parity laws) والتي أدت إلى اكتشافات هامة في مجال الجسيمات الأولية .

1956 منحت مشاركة بين :

WALTER HOUSER BRATTAIN & WILLIAM SHOCKLEY, JOHN BARDEEN

عن الدراسات المتعلقة على أشباه الموصلات واكتشاف تأثير الترانزستور transistor effect .

WILLIS EUGENE LAMB

عن الاكتشافات المتعلقة بالتركيب الدقيق لطيف الهيدروجين hydrogen spectrum .

& POLYKARP KUSCH

عن تحديد الدقيق للعزم المقطبي للإلكترون magnetic moment of the electron .

MAX BORN

عن الدراسات الأساسية في الميكانيكا الكمية وخاصة عن التفسير الإحصائي للذلة الموجية .

& WALTHER BOTHE

عن نظرية التطبيق coincidence method والاكتشافات الناتجة عنها .

FRITS (FREDERIK) ZERNIKE

عن تفسير طريقة التباين الطوري phase contrast method وإختراع ميكروسكوب التباين الطوري

. phase contrast microscope .

FELIX BLOCH & EDWARD MILLS PURCELL

عن تطوير طرق جديدة لدقة قياسات العزم المقطبي النووي nuclear magnetic precision measurements .

1951 منحت مشاركة بين :

SIR JOHN DOUGLAS COCKCROFT & ERNEST THOMAS SINTON WALTON

عن العمل الرائد عن تحويل الأتومية الفراغية transmutation of atomic nuclei باستخدام جسيمات ذرية معجلة صناعية .

CECIL FRANK POWELL

عن تطوير طريقة فوتونغرافية لدراسة العمليات النووية والاكتشافات المرتبطة بميزونات mesons .

HIDEKI YUKAWA

عن تنبؤه بوجود ميزونات بواسطة عمل بحثي نظري عن القوى النووية .

LORD PATRICK MAYNARD STUART BLACKETT

عن تطويره لطريقة حجرة سحابة ويلسون Wilson cloud chamber method ، واكتشافه في مجال الفيزياء النووية والإشعاع الكوني . cosmic radiation .

SIR EDWARD VICTOR APPLETON

عن دراسته في الفيزياء عن طبقات الجو العليا واكتشافه لما يسمى بطبيعة أبلتون Appleton layer .

PERCY WILLIAMS BRIDGMAN

عن اختراعه جهاز لإنتاج الضغوط العالية جدا extremely high pressures ، وكذلك لإكتشافاته في مجال فيزياء الضغوط العالية .

WOLFGANG PAULI

عن اكتشافه لمبدأ الاستثناء الذي سمى باسمه Pauli Principle .

ISIDOR ISAAC RABI

عن تلسيمه وتطويره لطريقة الرنين لتسجيل الخصائص المقطبية للأتمومية الذرية .

OTTO STERN

عن مساهمته في تطوير طريقة الشعاع الجزيوي molecular ray method ، واكتشافه للعزم المقطبي للبروتون .

- ERNEST ORLANDO LAWRENCE** 1939 منحت للعلم : عن اختراعه وتطويره للسيكلotron cyclotron وعن النتائج التي أمكنه التوصل إليها بواسطته خاصة ما يرتبط بالعناصر الصناعية المشعة *artificial radioactive elements*.
- ENRICO FERMI** 1938 منحت للعلم : عن إثبات وجود عناصر مشعة جديدة بواسطة التشعيع النبوري neutron irradiation ، ولإكتشافه للتفاعلات النووية الناتجة بواسطة النيترونات البطيئة slow neutrons.
- SIR GEORGE PAGET THOMSON & CLINTON JOSEPH DAVISSON** 1937 منحت مشاركة بين : عن اكتشاف جيود الإلكترونات diffraction of electrons بواسطة البلازورات مصلياً.
- VICTOR FRANZ HESS** 1936 منحت مناسقة بين : عن اكتشافه للأشعاع الكوني cosmic radiation .
- & **CARL DAVID ANDERSON** عن اكتشافه البيوزيترون positron .
- SIR JAMES CHADWICK** 1935 منحت للعلم : عن اكتشافه للنيترون neutron .
- ERWIN SCHRÖDINGER & PAUL ADRIEN MAURICE DIRAC** 1933 منحت مشاركة بين : عن اكتشاف أشكال جديدة أكثر فائدة للنظرية الفنية new productive forms of atomic theory .
- WERNER HEISENBERG** 1932 منحت للعلم : عن إنشائه للميكانيكا الكمية ، والتي أدى تطبيقها إلى اكتشاف الصور المختلفة للهيدروجين allotropic forms of hydrogen .
- SIR CHANDRASEKHARA VENKATA RAMAN** 1930 منحت للعلم : عن أعماله العلمية في مجال تشتت الضوء واكتشافه للتغير الذي سمى باسمه (تأثير رامان Raman effect) .
- PRINCE LOUIS-VICTOR DE BROGLIE** 1929 منحت للعلم : عن اكتشافه للطبيعة الموجية للإلكترونات wave nature of electrons .
- SIR OWEN WILLIAMS RICHARDSON** 1928 منحت للعلم : عن دراسته لظاهرة التيرموإليكترونية thermionic phenomenon وإكتشافه لقانون الذي سمى باسمه Richardson Law .
- & **CHARLES THOMSON REES WILSON** 1927 منحت مناسقة بين : عن اكتشافه للتغير الذي سمى باسمه (تأثير كونتون Compton effect) .
- ARTHUR HOLLY COMPTON** عن طريقه لجعل مسارات الجسيمات المشحونة كهربائياً مرنية ، وذلك بواسطة تكثيف البخار .
- JEAN BAPTISTE PERRIN** 1926 منحت للعلم : عن دراسته على التركيب غير المتصل للمادة وخاصة اكتشافه للاتزان الترسبي sedimentation equilibrium .
- GUSTAV HERTZ & JAMES FRANCK** 1925 منحت مشاركة بين : عن اكتشافهما لlaw لقوى التي تحكم تأثير الإلكترون على الذرة .
- KARL MANNE GEORG SIEGBAHL** 1924 منحت للعلم : عن اكتشافاته وأبحاثه في مجال طيف الأشعة السينية X-ray spectroscopy .
- ROBERT ANDREWS MILLIKAN** 1923 منحت للعلم : عن إنجازاته عن الشحنة الف忿صرية elementary charge للكهرباء وعن التأثير الكهرومغناطيسي photoelectric effect .
- NIELS BOHR** 1922 منحت للعلم : عن إنجازاته في فحص تركيب الذرات والأنبياء الإشعاعي منها .
- ALBERT EINSTEIN** 1921 منحت للعلم : عن إنجازاته في مجال التفزياء النظرية وخاصة لاكتشافه قانون التأثير الكهرومغناطيسي law of the photoelectric effect .
- CHARLES EDOUARD GUILLAUME** 1920 منحت للعلم : عن إنجازاته التي قدمها للقياسات الدقيقة precision measurements للفيزياء وإكتشافه شدود مبانك الصلب والبتكل .

- JOHANNES STARK** 1919 منحت للعالم : عن اكتشافه لتغير ديلر splitting of canal rays في الأشعة الموجية Doppler effect وانقلال خطوط الطيف spectral lines في المجالات الكهربائية .
- MAX KARL ERNST LUDWIG PLANCK** 1918 منحت للعلم : عن إسهاماته التي قدمها في تطوير علم الفيزياء باكتشافه الكميات الطافية energy quanta .
- CHARLES GLOVER BARKLA** 1917 منحت للعلم : عن اكتشافه لخصائص إشعاع رونتген للعناصر (Rontgen radiation of the elements) .
- SIR WILLIAM HENRY BRAGG & SIR WILLIAM LAWRENCE BRAGG** 1915 منحت مشاركة بين : عن رياضتها في تحليل التركيب البلورى باستخدام الأشعة السينية X-rays .
- MAX VON LAUE** 1914 منحت للعلم : عن اكتشافه لحبيذ الأشعة السينية بواسطة البلورات diffraction of X-rays by crystals .
- HEIKE KAMERLINGH-ONNES** 1913 منحت للعلم : عن أبحاثه على خصائص المادة عند درجات الحرارة المنخفضة ، والتي قادت لإنتاج سائل الهيليوم .
- NILS GUSTAF DALN** 1912 منحت للعلم : عن اختراعه للنظمات الآوتوماتيكية automatic regulators لاستخدامها في توصيل المراكم الغازية gas accumulators لإضافة الفنارات والعموات الخاصة بيارشاد المصفق .
- WILHELM WIEN** 1911 منحت للعلم : عن اكتشافاته المتعلقة بالقوانين التي تحكم الإشعاع الحراري .
- JOHANNES DIDERIK VAN DER WAALS** 1910 منحت للعلم : عن دراساته على معادلة الحالة للفغازات والسوائل equation of state for gases and liquids .
- GUGLIELMO MARCONI & CARL FERDINAND BRAUN** 1909 منحت مشاركة بين : عن مساهماتها في تطوير التلغراف اللاسلكي wireless telegraphy .
- GABRIEL LIPPMANN** 1908 منحت للعلم : عن اختراعه لطريقة إنتاج الألوان التي تعتمد فوتوفوغرافيا على ظاهرة التداخل phenomenon of interference .
- ALBERT ABRAHAM MICHELSON** 1907 منحت للعلم : عن أجهزة الدقة الضئولية optical precision instruments التي استخدمت في الدراسات الطيفية والمقاييس spectroscopic and metrological investigations .
- SIR JOSEPH JOHN THOMSON** 1906 منحت للعلم : عن التقدير الكبير لدراساته النظرية والعملية على التوصيل الكهربائي للغازات conduction of electricity by gases .
- PHILIPP EDUARD ANTON LENARD** 1905 منحت للعلم : عن دراساته على أشعة الكاثود cathode rays .
- LORD JOHN WILLIAM STRUTT RAYLEIGH** 1904 منحت للعلم : عن دراساته على كثافات معظم الغازات الهماء واكتشافه لغاز الأرجون .
- ANTOINE HENRI BECQUEREL** 1903 منحت معاشرة بين : عن خدماته غير العادية التي قدمها بواسطة اكتشاف النشاط الإشعاعي الذانوي spontaneous radioactivity & PIERRE CURIE and MARIE CURIE, née SKLODOWSKA .
- Professor Henri Becquerel البروفيسور هنرى بيكريريل عن الخدمات غير العادية التي قدمت بواسطة ابجاثهما المشتركة على ظواهر الإشعاع التي اكتشفت بواسطة البروفيسور هنرى بيكريريل .
- PIETER ZEEMAN & HENDRIK ANTOON LORENTZ** 1902 منحت مشاركة بين : عن الخدمات غير العادية التي قدمت بواسطة ابجاثهما على تأثير المagnetisية على ظواهر الإشعاع .
- WILHELM CONRAD RONTGEN** 1901 منحت للعلم : عن الخدمات غير العادية التي قدمها بواسطة اكتشافه لأشعة سميت باسمه Rontgen rays .